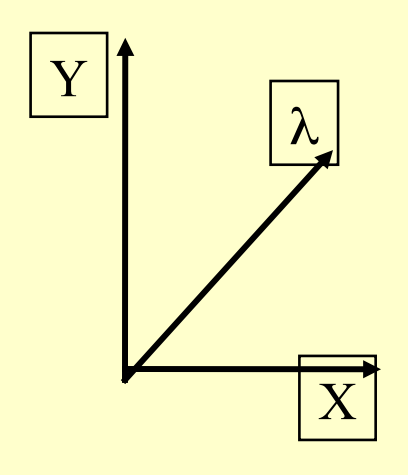
Методы панорамной спектроскопии

Лекция 5.

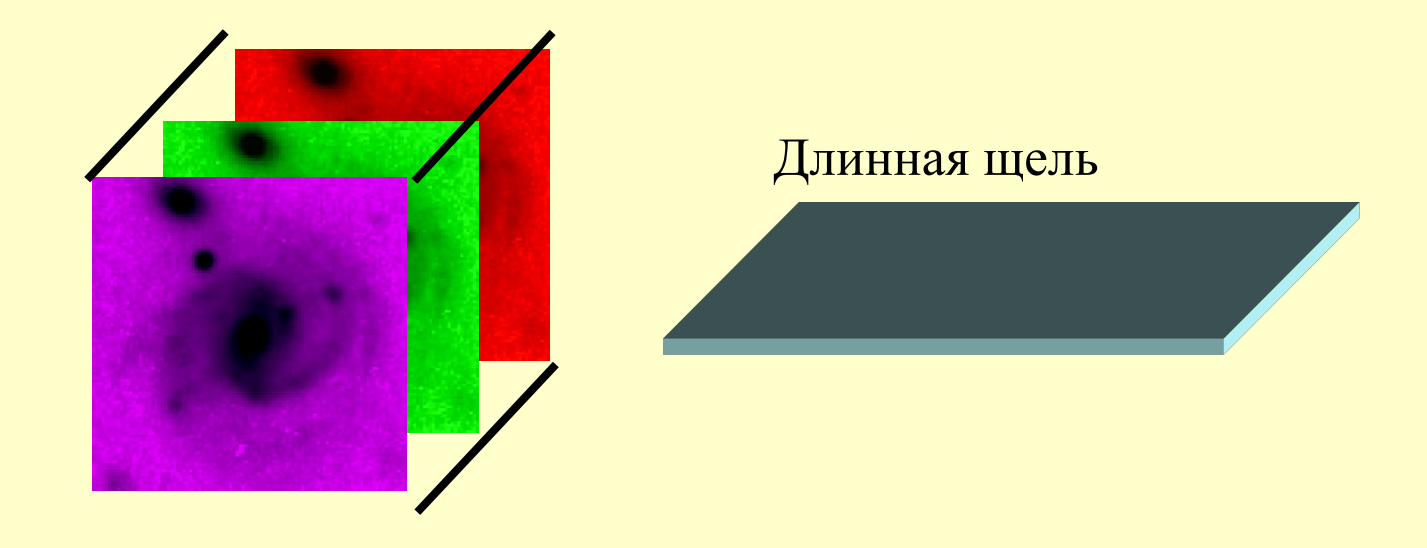
Сканирующий интерферометр Фабри-Перо. Методы визуализации кубов данных. Перенастраиваемый фильтр. Приборы: CIGALE, SCORPIO/IFP, TTF.

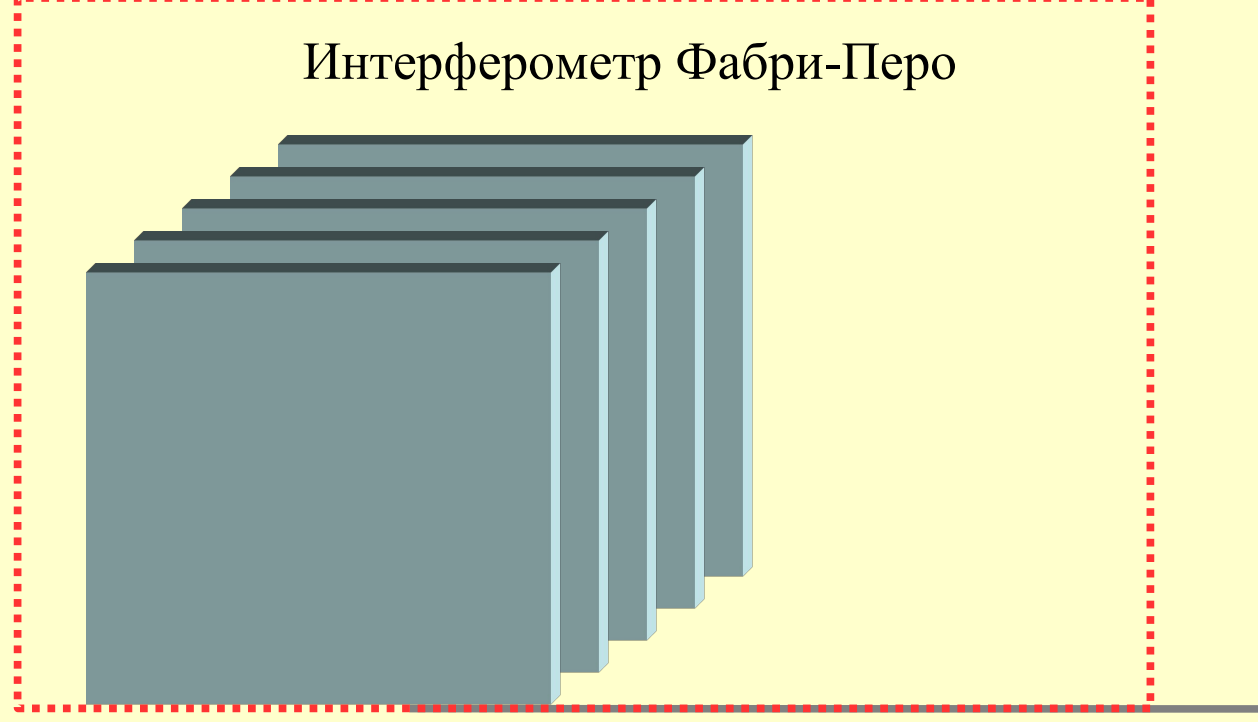
Куб данных



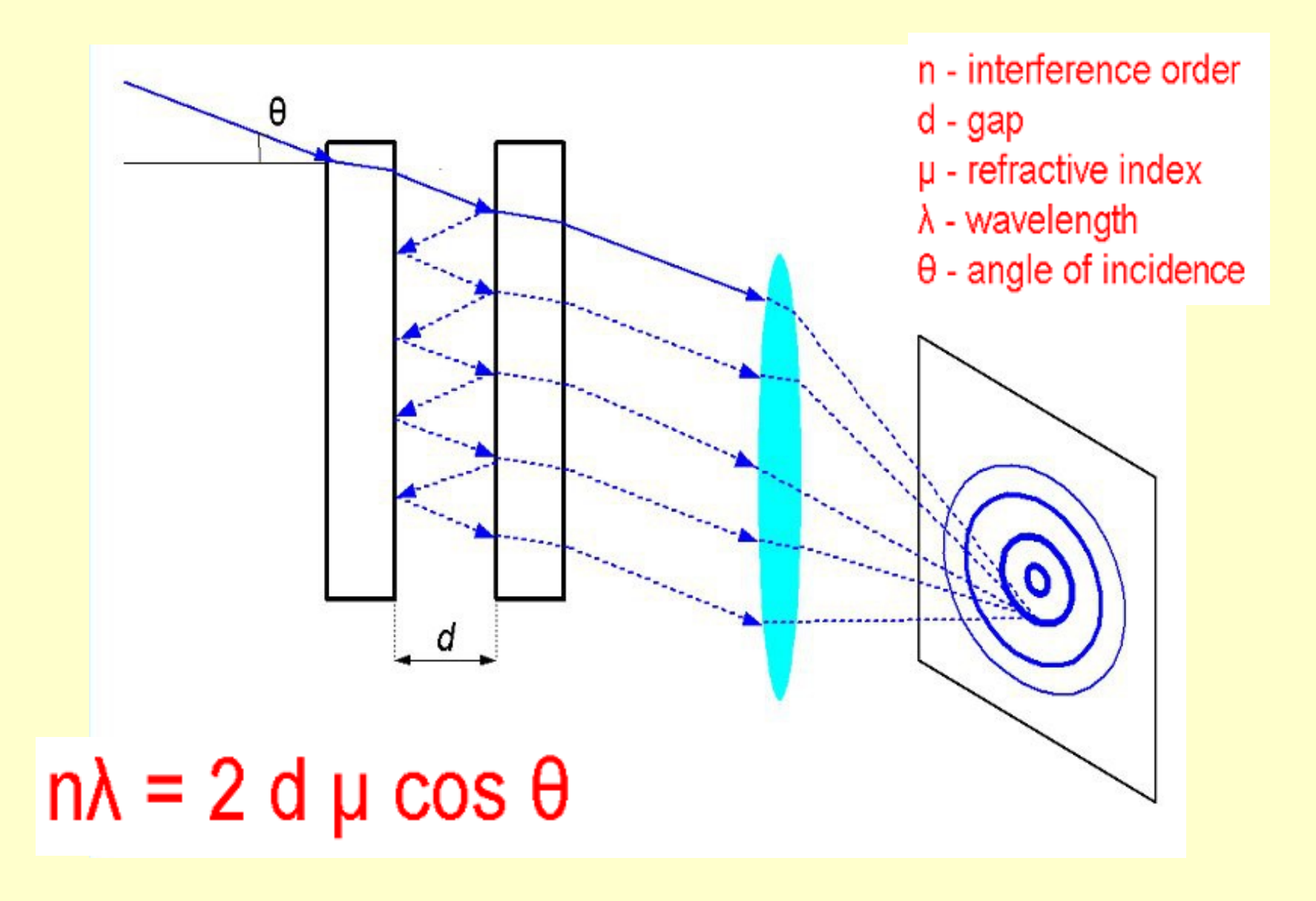
Спектрографы Интегрального поля



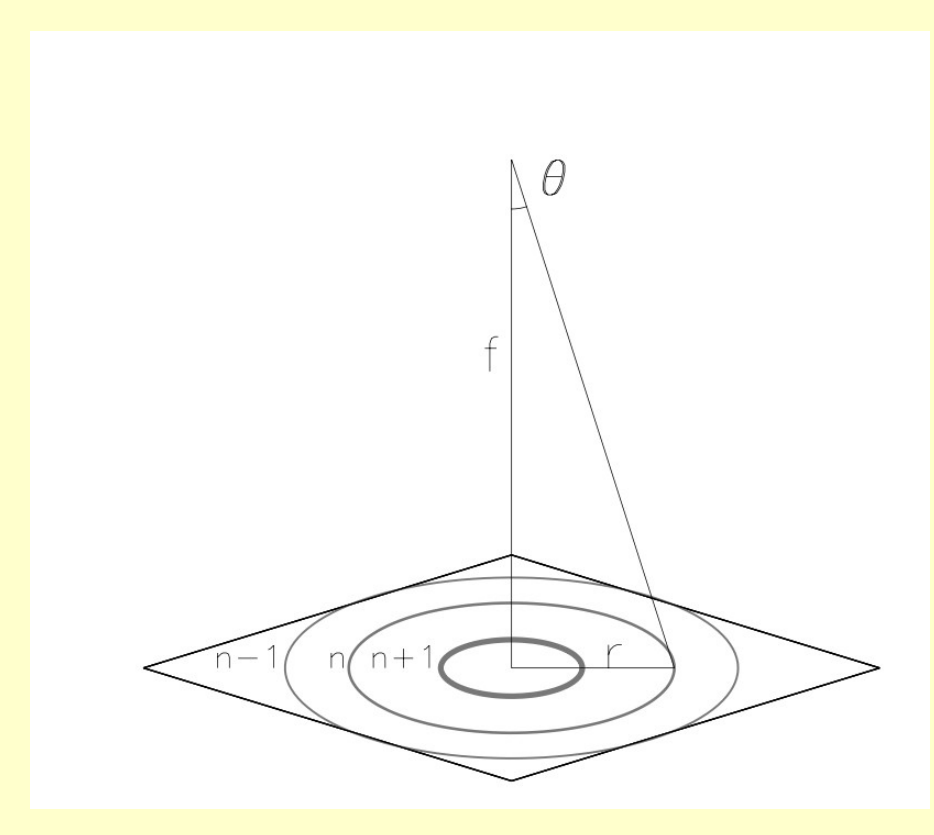




Интерферометр Фабри-Перо



Основные соотношения



$$n\lambda = 2l\mu\cos\vartheta = \frac{2l\mu}{\sqrt{1+\left(\frac{r}{f}\right)^2}}.$$

$$\frac{d\lambda}{d\vartheta} = -\frac{2l\mu}{n}\sin\vartheta = -\frac{2l\mu}{n}\frac{1}{\sqrt{1+\left(\frac{f}{r}\right)^2}}$$

При приближении к центру:

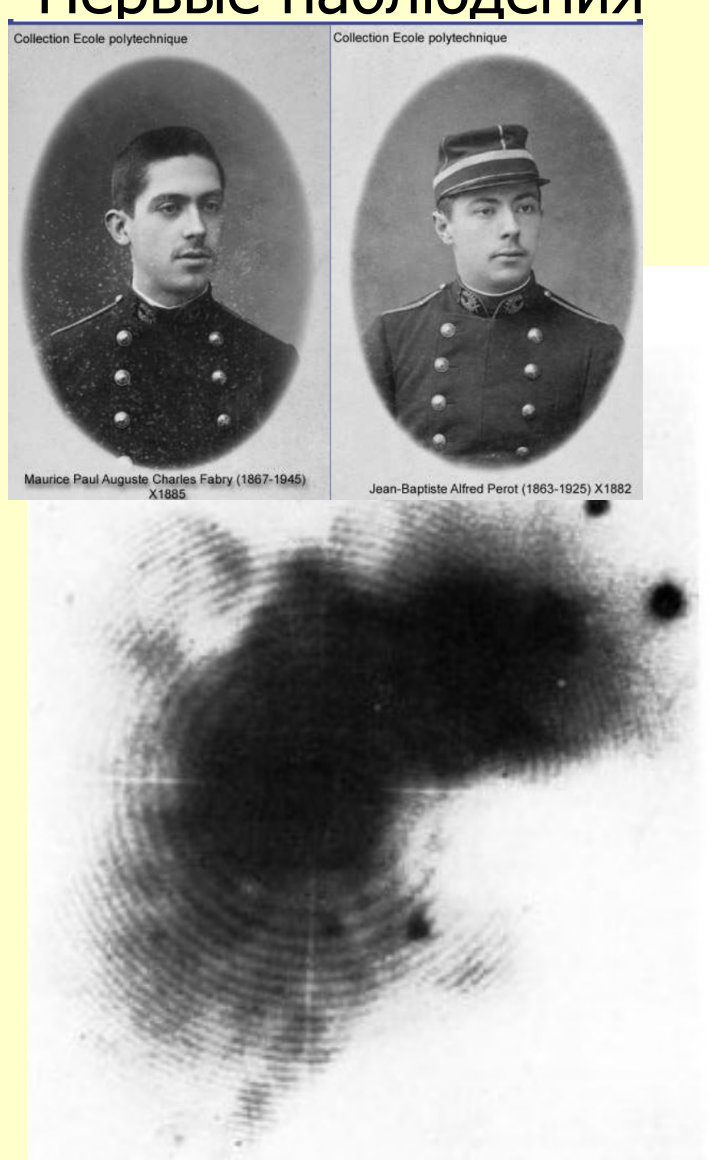
- растет длина волны
- увеличивается ширина колец

Легко показать, что угловая дисперсия Не зависит от порядка интерференции:

$$\frac{d\lambda}{d\vartheta} = -\lambda \operatorname{tg} \vartheta.$$

На одном кадре смешаны пространственные и спектральные координаты!

Первые наблюдения



Buisson, Fabry, & Bourget (1914).

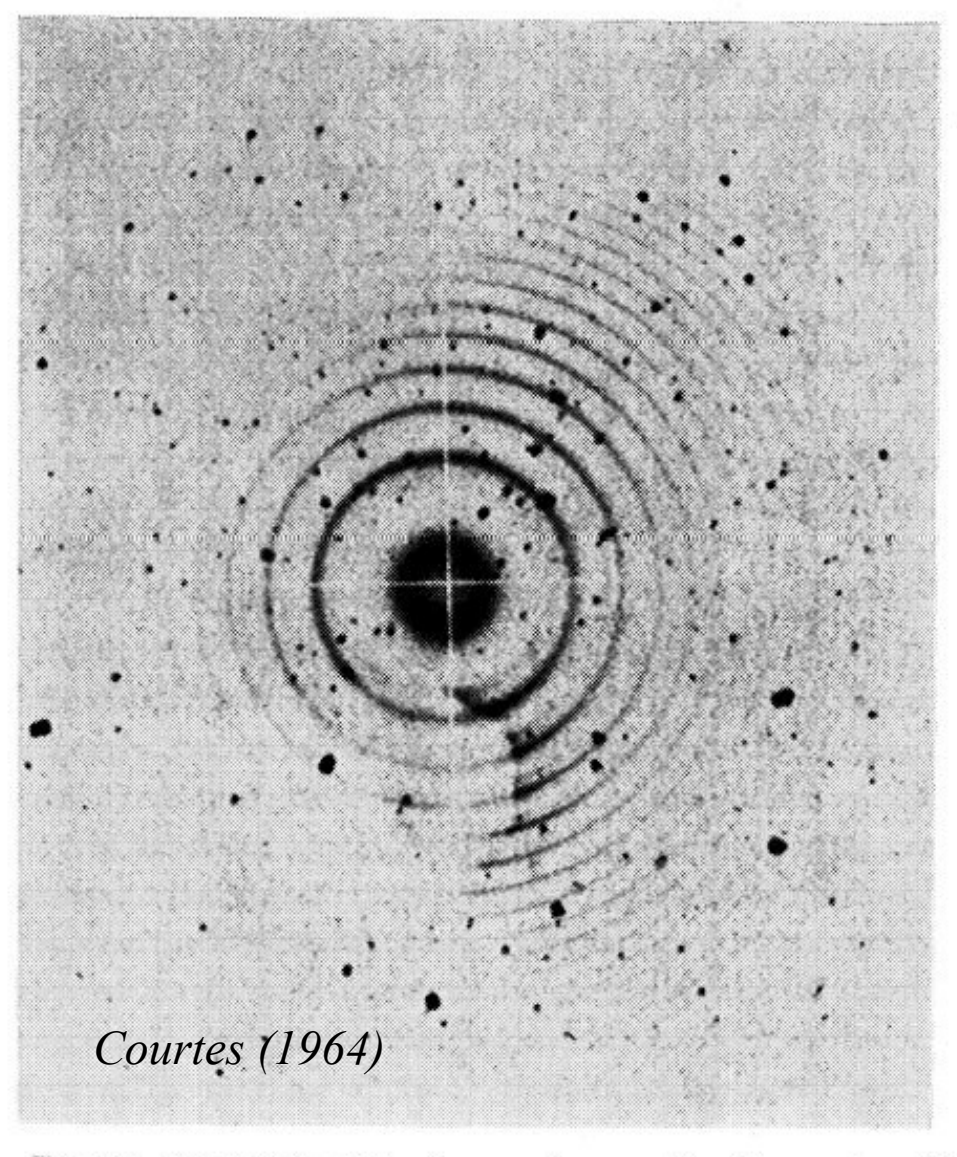
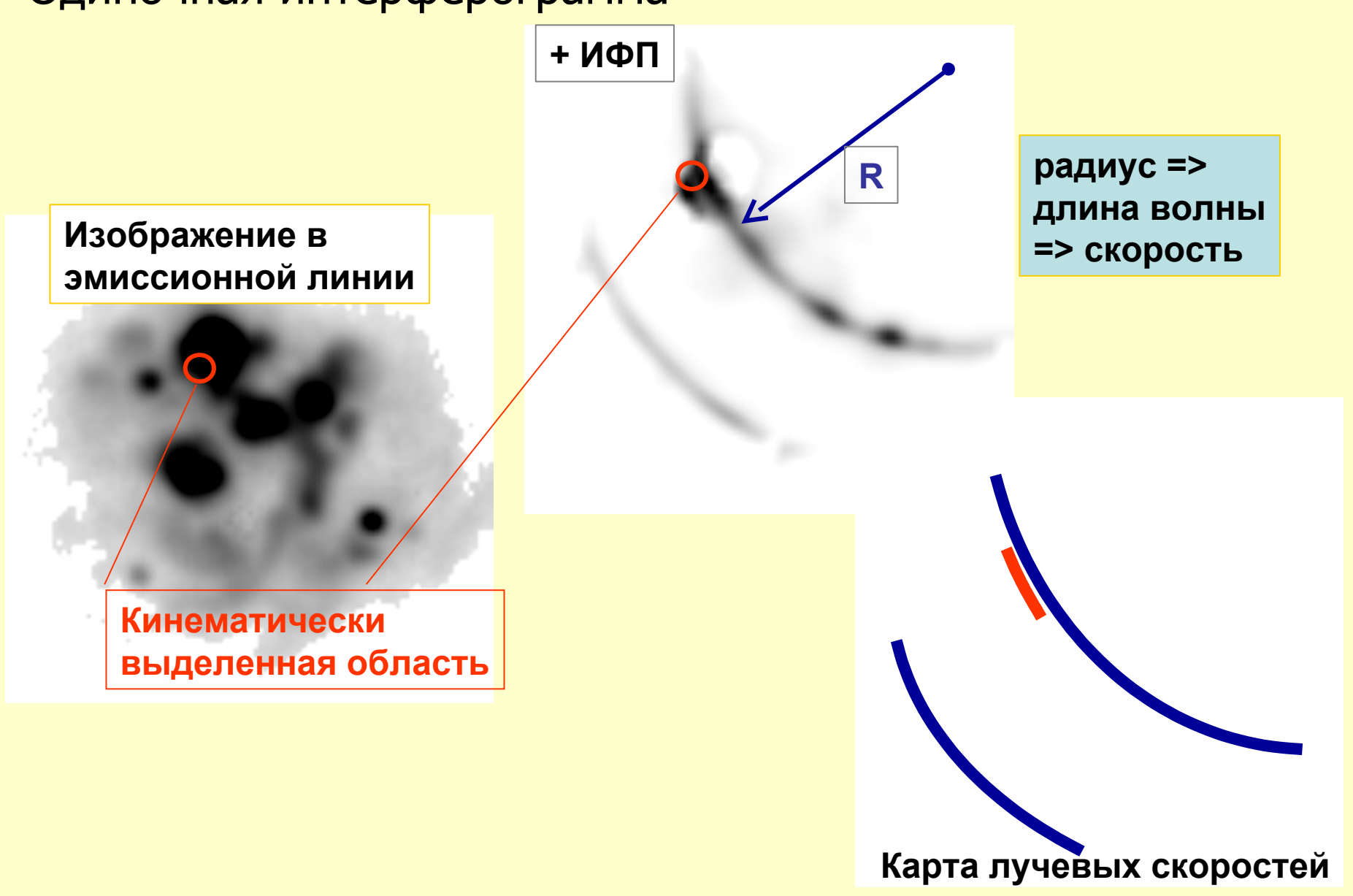


Fig. 12. Perot-Fabry interference rings on the H II regions IC 1393. The brightest rings are given by the H_{α} radiations. The faint ones by [N II] 6584. One notices the enhancement of that line along the bright ring of the absorbing cloud. Plate by S. Pottasch.

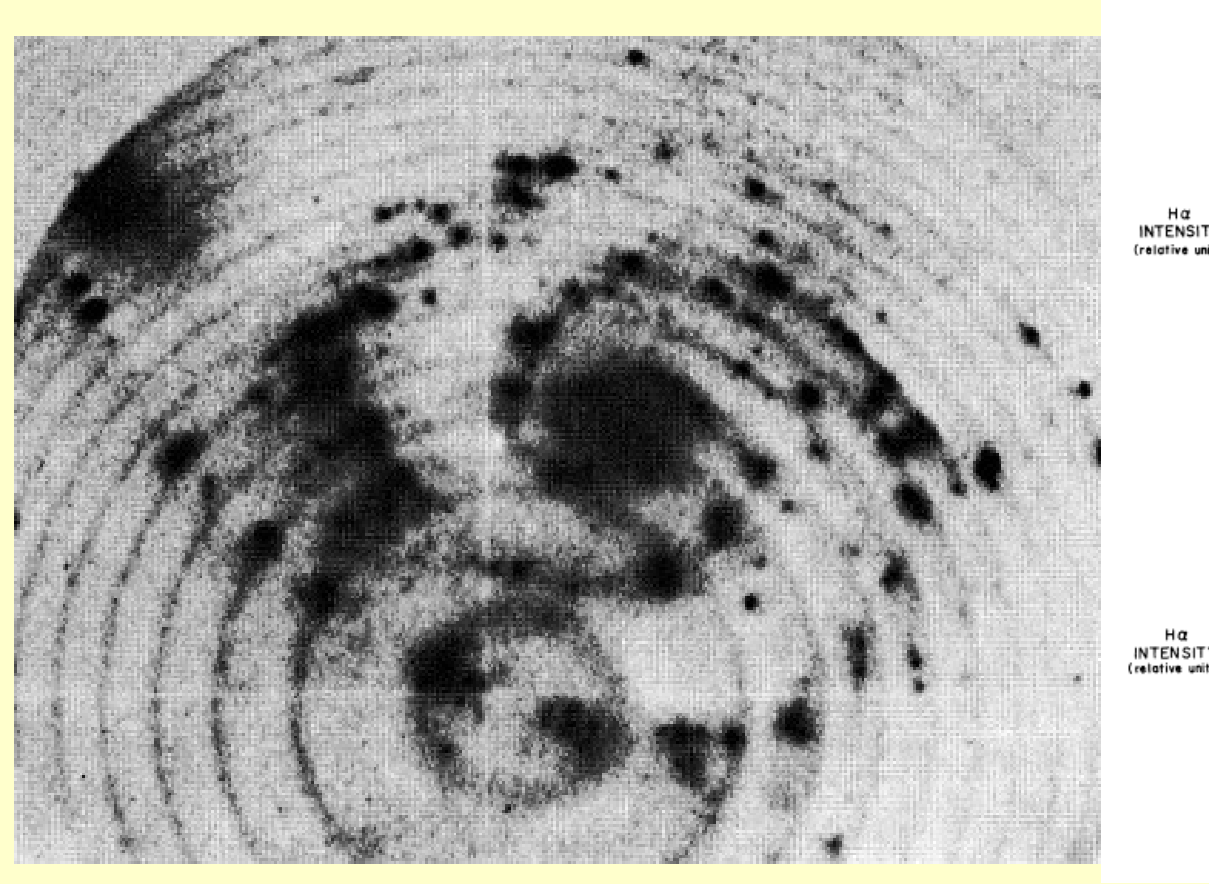
Одиночная интерферограмма

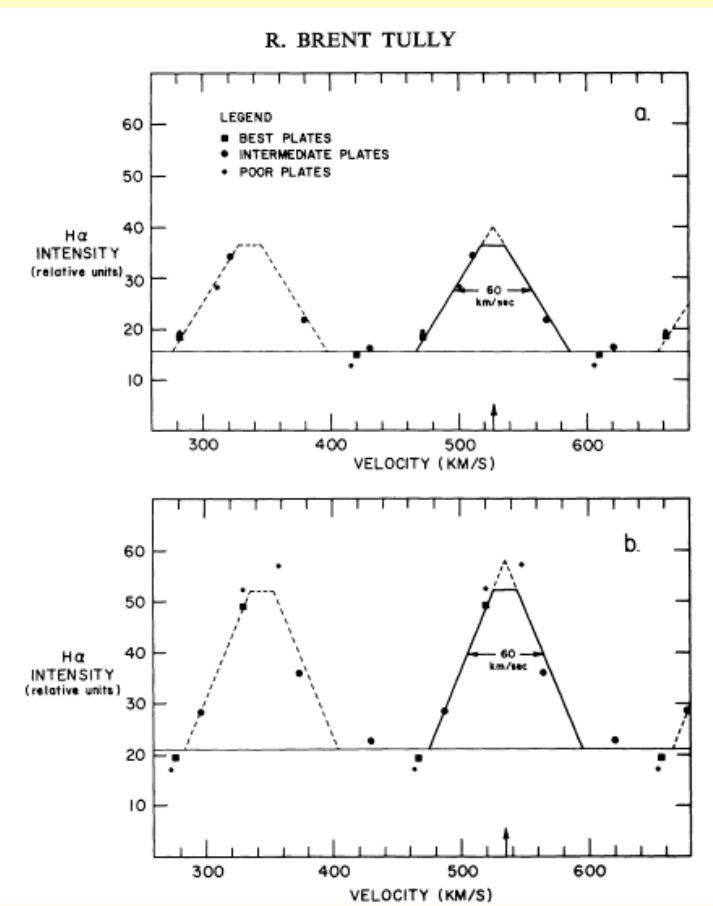


Сканирующий Интерферометр Фабри-Перо расстояние между пластинами Line intensity δλ Δλ large field of view: 5-20 arcmin high spectral resolution: $\delta \lambda = 0.2...2 \text{Å}$ Пьезоэлектрический ИФП ET-50 small spectral range: $\Delta \lambda = \lambda/n = 5...50 \text{ Å}$

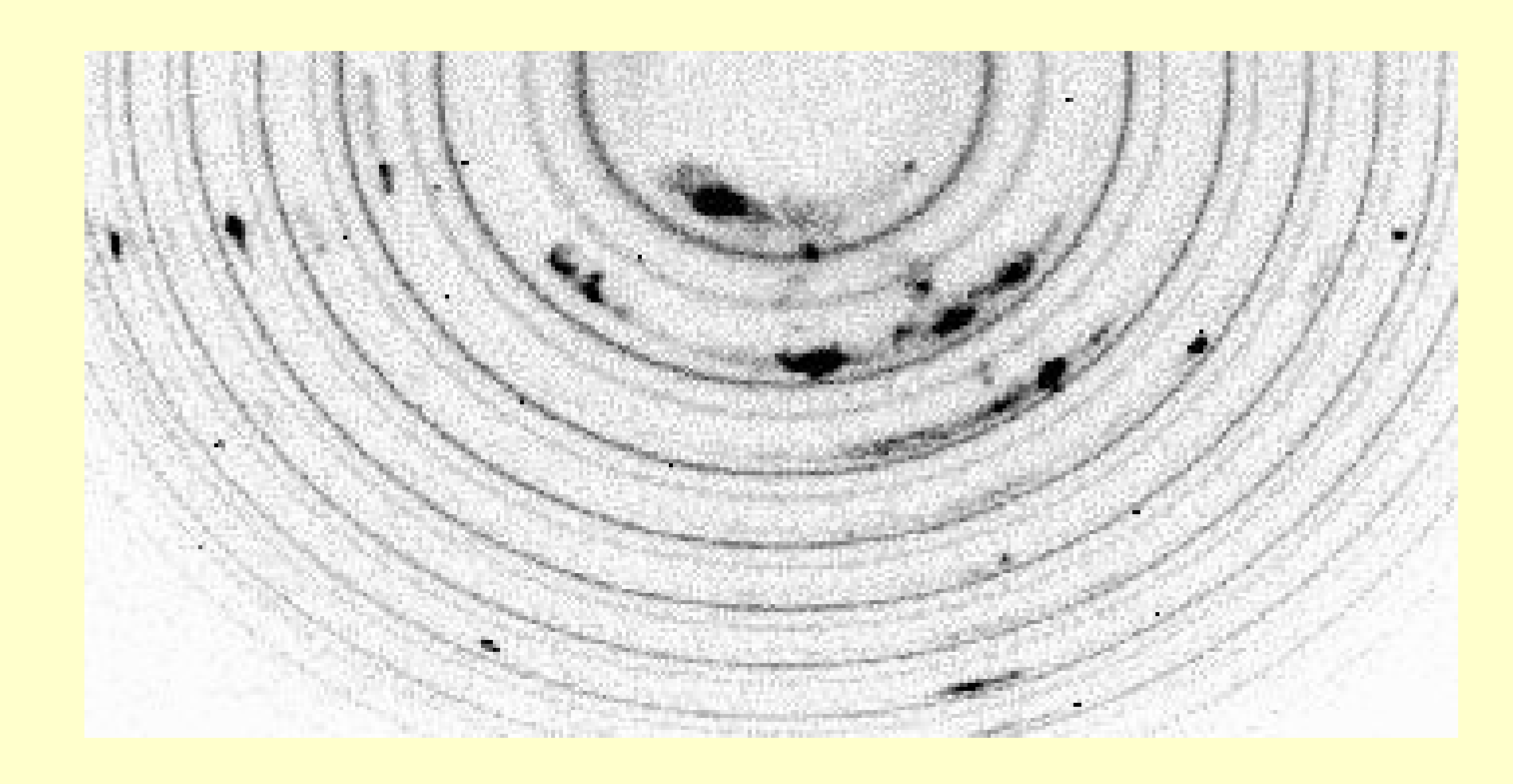
Queensgate Inc. (IC Optical System Inc.)

Первый куб данных с ИФП — M51 (Tully, 1974)

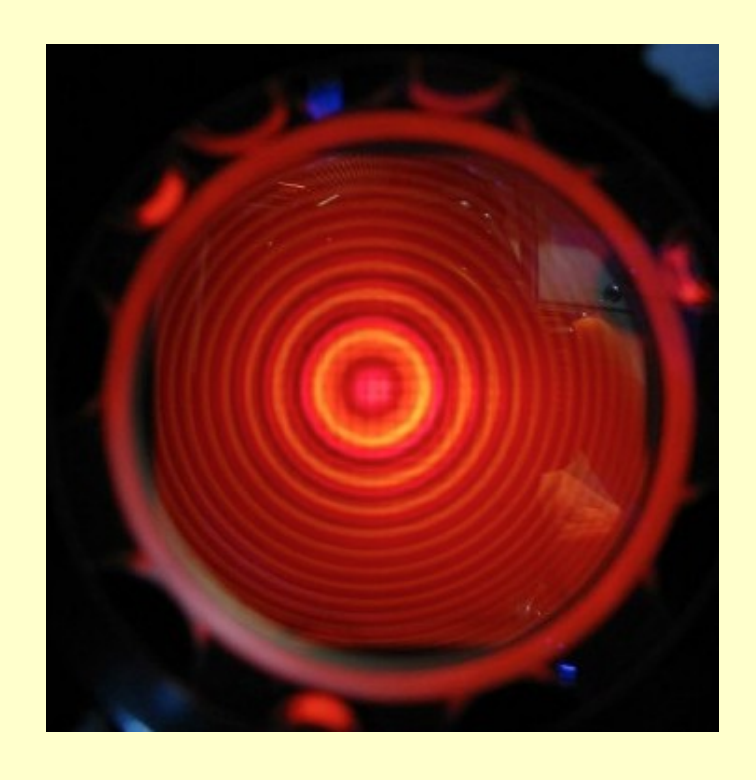




IC2976: SCORPIO-2



ИФП на SCORPIO-2: установка и настройка



Настройка — глазом по неонке

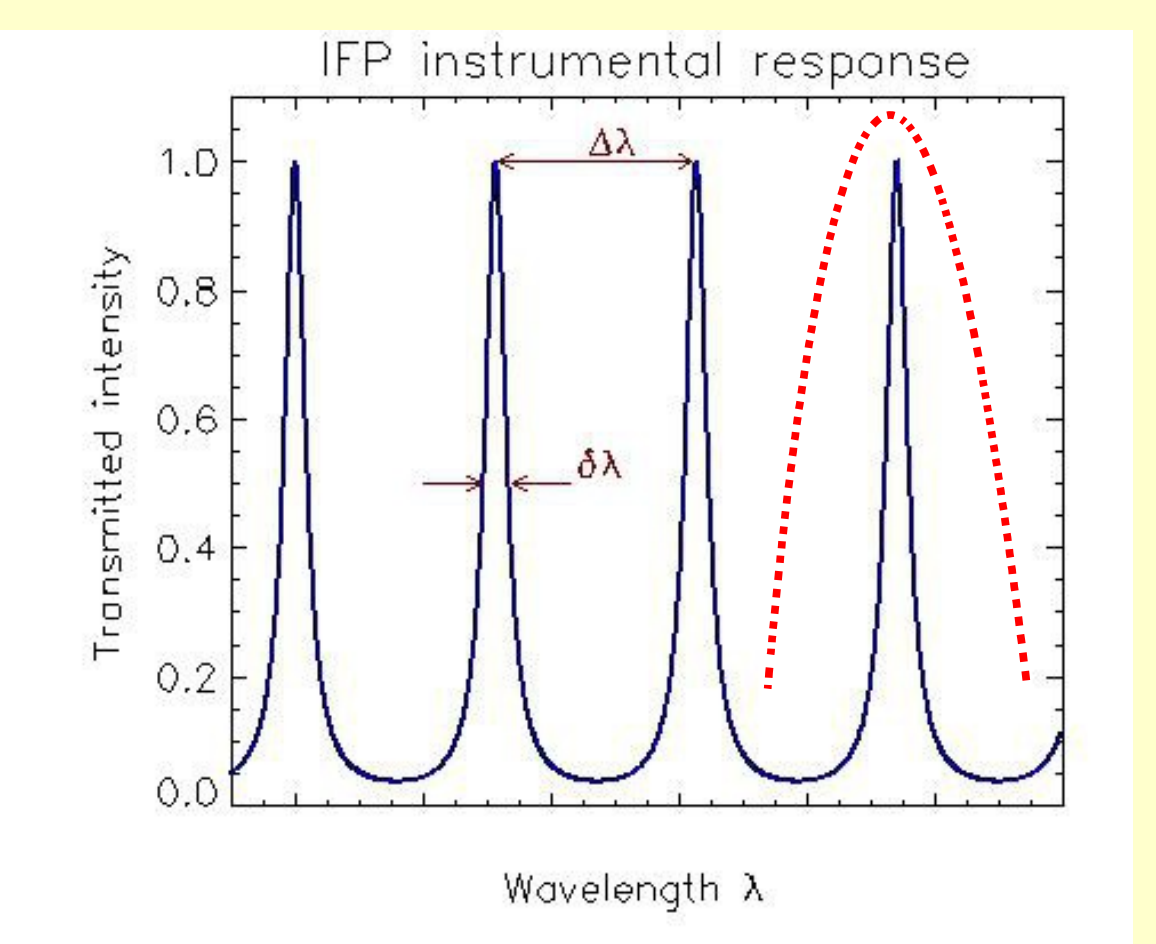


Аппаратный контур интерферометра

Свободный спектральный диапазон:

 $\Delta\lambda = \lambda/n$ $d\lambda$ - ширина профиля

n=100...1000 Δλ=5..50 Å



Спектральное разрешение: $R = \lambda/\delta\lambda = n F$

 $F = \Delta \lambda / \delta \lambda$ - Effective Finesse (добротность, контраст, эффективное число интерферирующих лучей)

Спектральное разрешение прибора, основанного на принципах интерференции света:

$$R = \lambda / \delta \lambda = n N$$

Область свободная от перекрытия порядков:

$$\Delta \lambda = \lambda / n$$

n – порядок интерференции

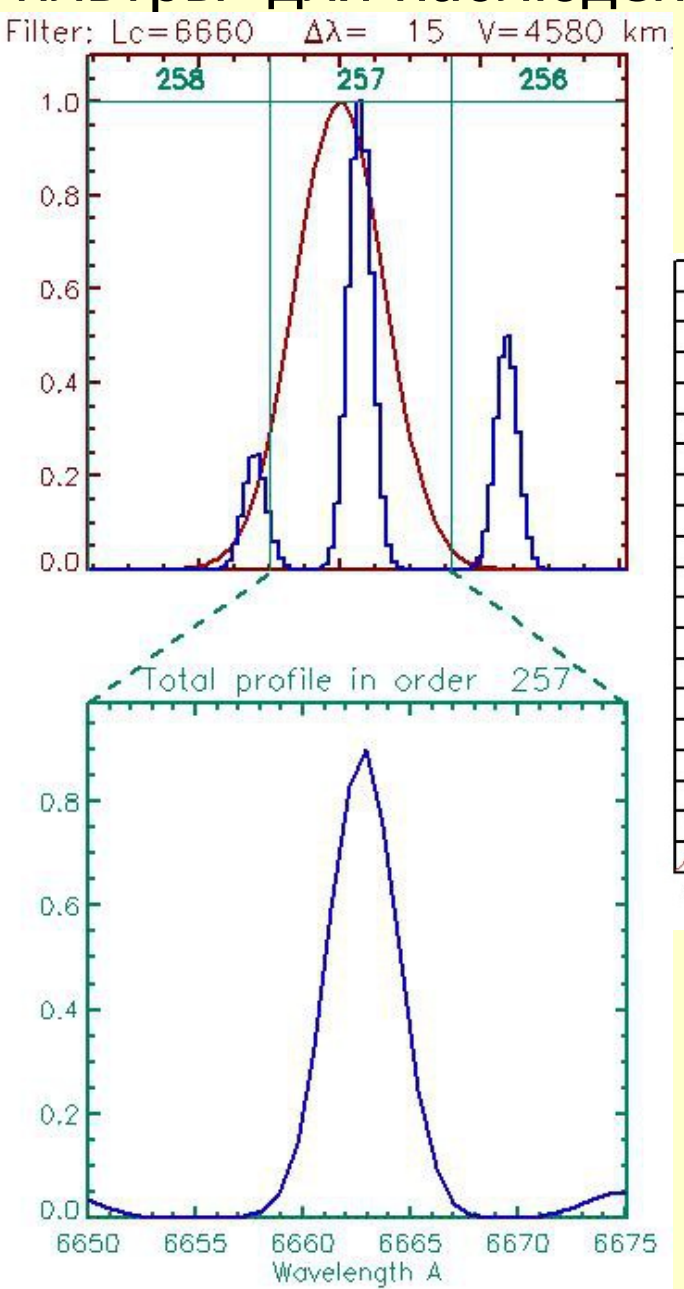
N – число интерферирующих лучей

Решетка классического спектрографа: n=1..3, N>1000

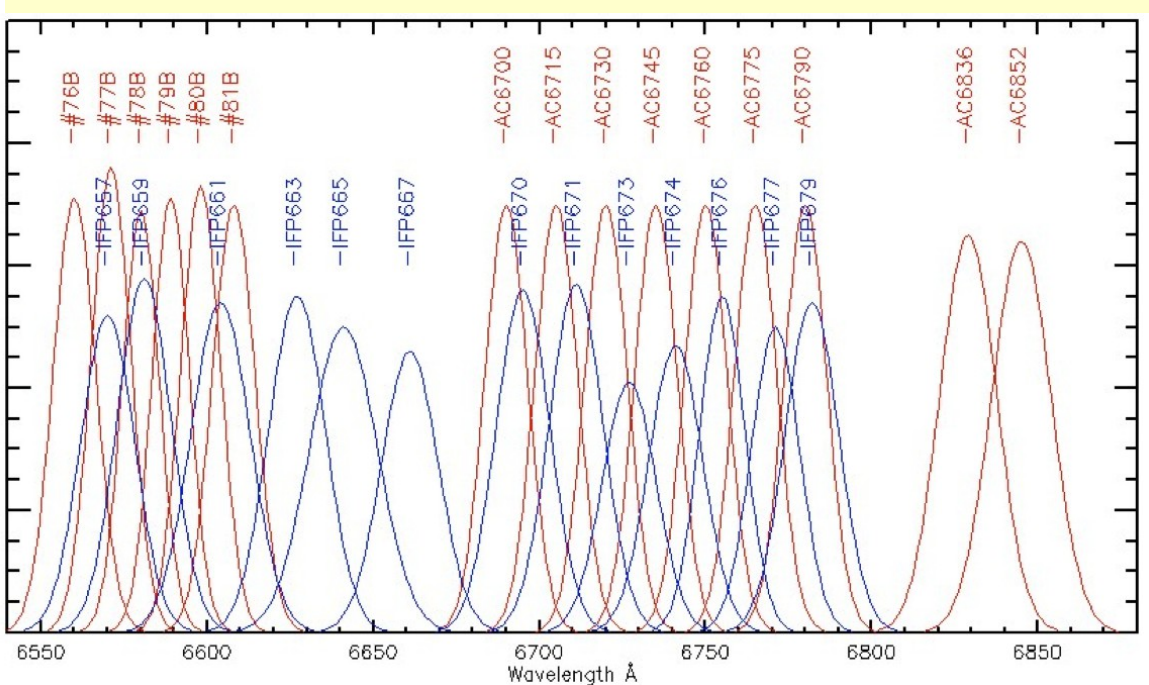
Эшеле спектрограф: n=10...50, N>1000

Интерферометр Фабри-Перо: n=100...10000, N=10...100

Фильтры для наблюдений с ИФП



Выделение области вокруг эмиссионной линии на разных красных смещениях



Метод идеален для изучения слабых эмиссий, но плохо работает на фоне яркого континуума (звездные абсорбции из соседних порядков)

Проблема наблюдений линий в области Н-альфа

Нет идеального фильтра :(

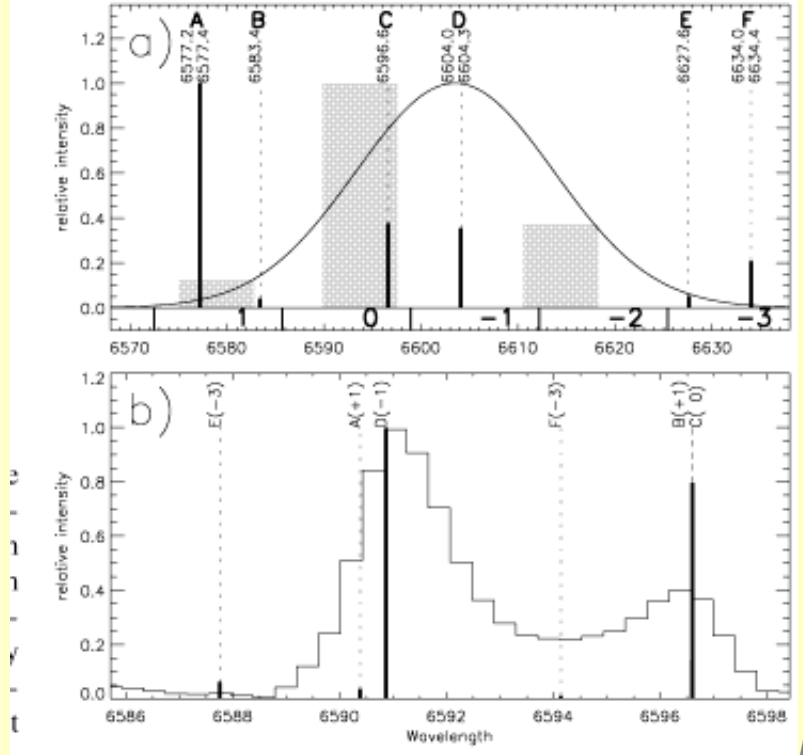
FWHM<10-15 A: дорого, T<50%

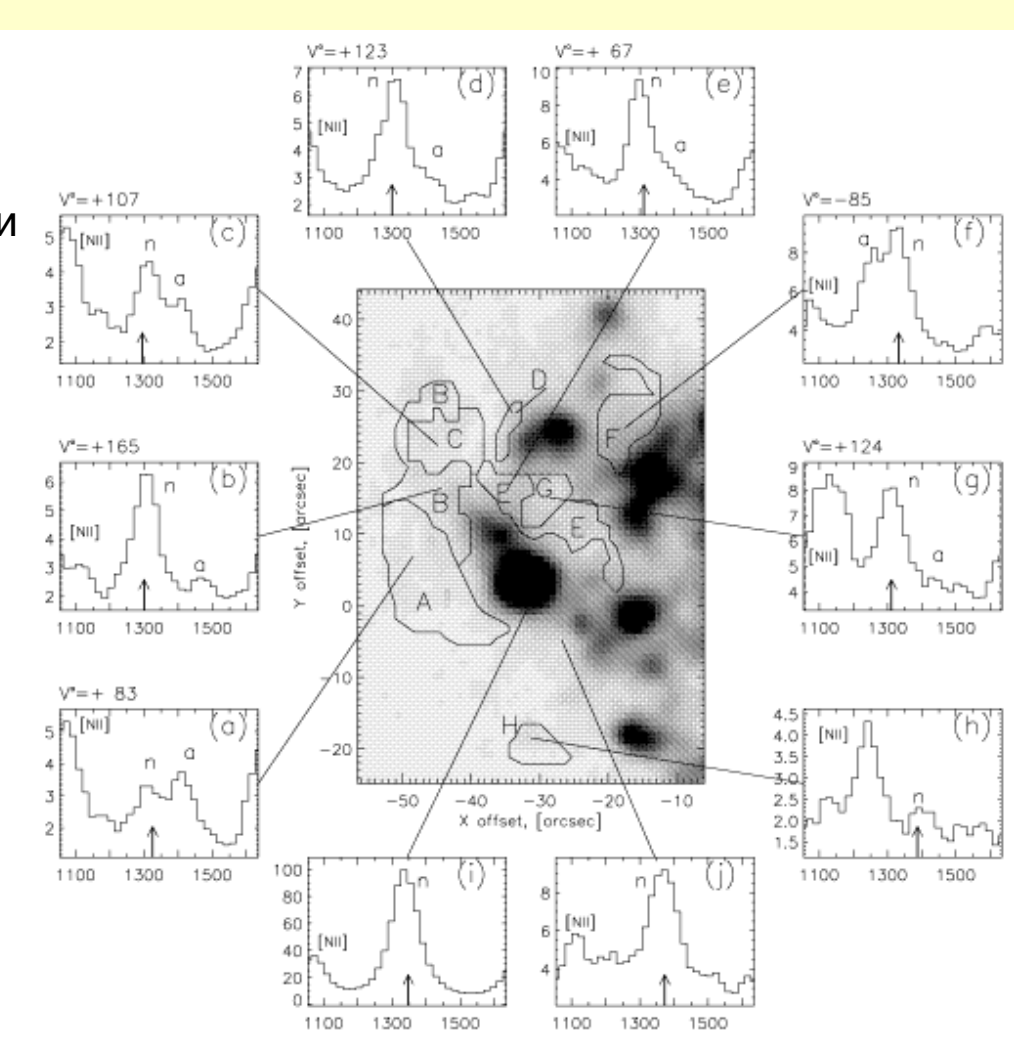
FWHM>10-15 А: попадают близкие линии

Подбираем п так, чтобы хорошо развести

соседние линии ~0.5∆λ

Но можно использовать и во благо измерения сразу и в На и в [NII]!

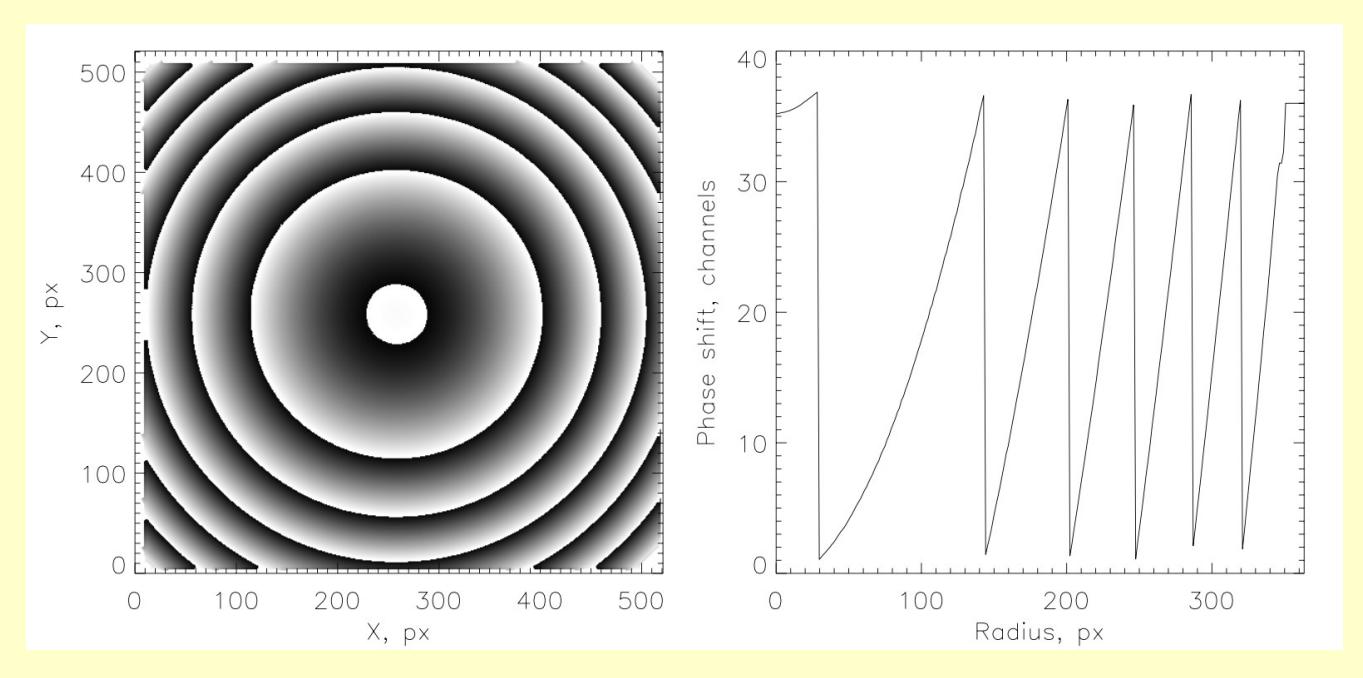




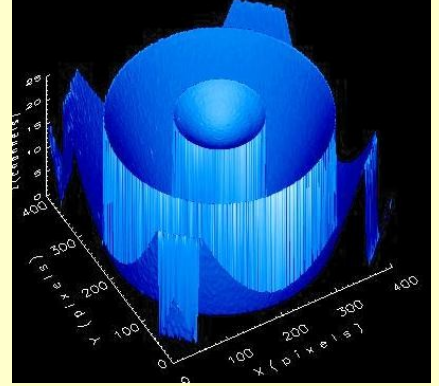
(Moiseev 2000)

Моисеев, «Методы панорамной спектроскопии», 2017, лекция 5

Обработка данных: шкала длин волн, фазовая карта



Положение центра калибровочной линии.



Для сканирующего интерферометра $2\mu l = A + Bz$, где z-номер спектрального канала, а A и B – некоторые константы (Гордон и др., 2000). Легко получить, что

$$B = \frac{A}{n \, n_z}$$

 $B = \frac{A}{n \, n_z}$ где n_z – количество каналов в цикле сканирования.

(1) с учетом того, что $r \ll f$ и, согласно (5) $A \gg B$, получаем выражение для номера канала, в котором на данном радиусе наблюдается интерференционный максимум:

$$z(r) \cong \frac{n}{B}\lambda + \frac{A}{2Bf^2}r^2 - \frac{A}{B}$$

← квадратичное изменение радиуса колец

Обработка данных: аппаратный контур

Функция Эйри Лучшая аппроксимация (из простых функций) — профиль Лоренца

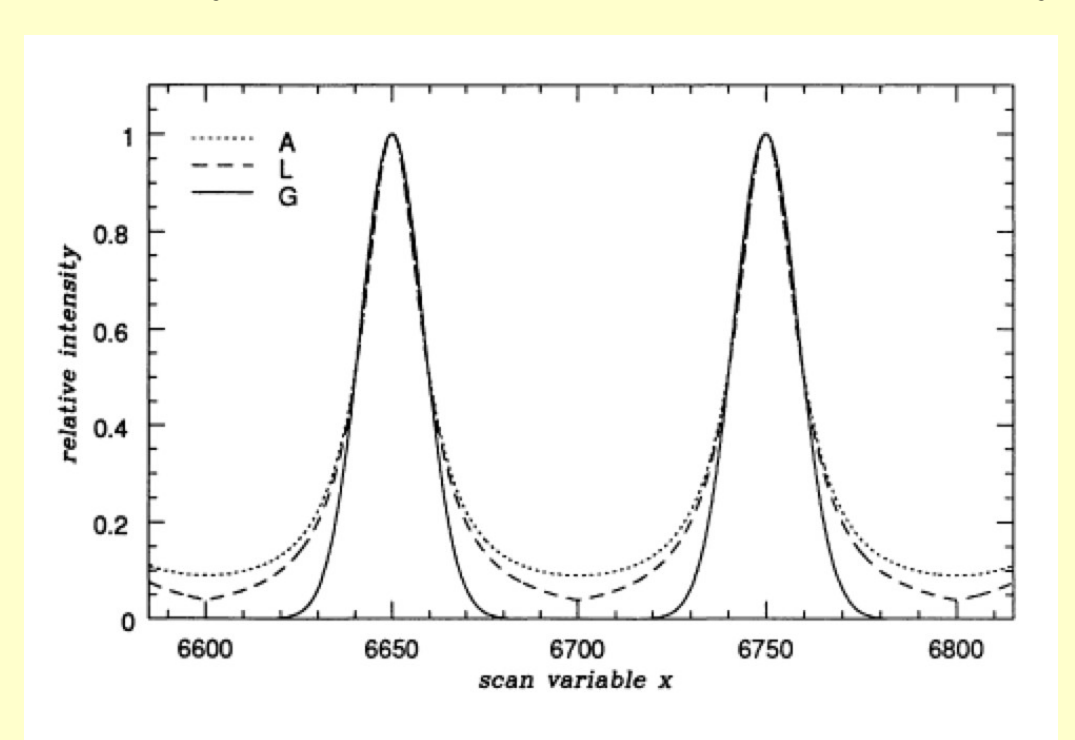


Figure 2. Three cyclic functions listed in Table 1 (column 2) shown at low finesse to emphasize their differences.

	f(x)
G	$\exp[-\ln 16 \operatorname{mod}[x, \Delta x]^2/(\delta x)^2]$
L	$(1+(\frac{2}{\delta x})^2 \operatorname{mod}[x,\Delta x]^2)^{-1}$
A	$(1+\alpha\sin^2(\frac{\pi x}{\Delta x}))^{-1}$

Table 1: Cyclic functions which are periodic over Δz with FWHM δz . The (G)aussian, (L)orentzian and (A)iry functions are illustrated in Fig. 2. The mod function is the modulo function and $\alpha = (\frac{2\Delta x}{\pi \delta x})^2$. Note that for large α , $(\frac{\Delta x}{\pi \sqrt{1+\alpha}}) \approx (\frac{\delta x}{2})$. The gap scanning variable x is offset by $\frac{\Delta x}{2}$ in practice.

Bland-Hawthorn (1995)

Обработка данных: аппаратный контур

В объектах с гауссовским уширением - наблюдаем профиль Фойгта

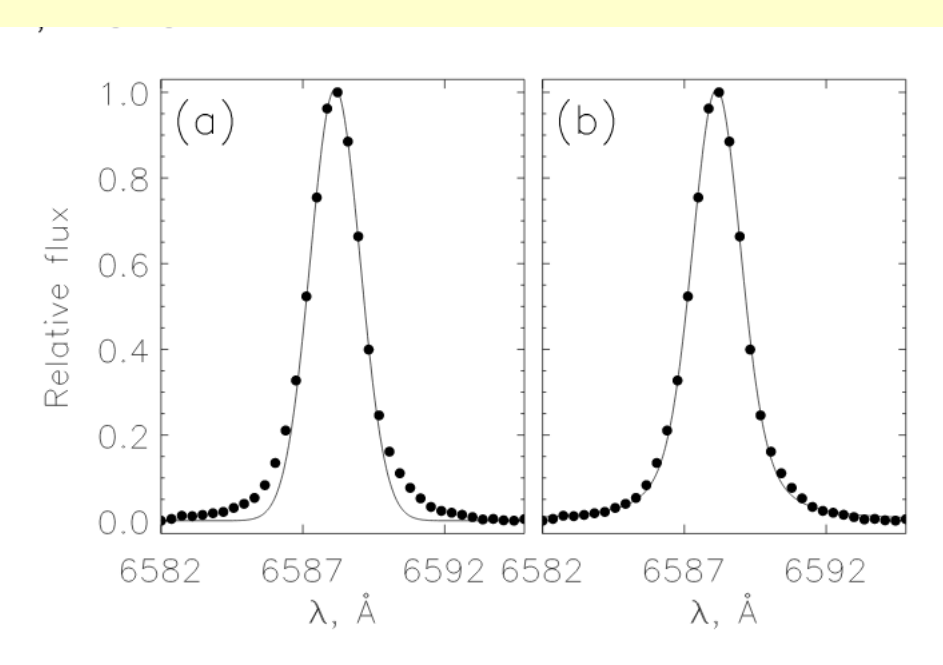


Рис. 4. Пример профиля спектральной линии $H\alpha$ в галактике II Zw 70 по наблюдениям с IFP501 (точки). Линией показана аппроксимация функцией Гаусса (а) и профилем Фойгта (b).

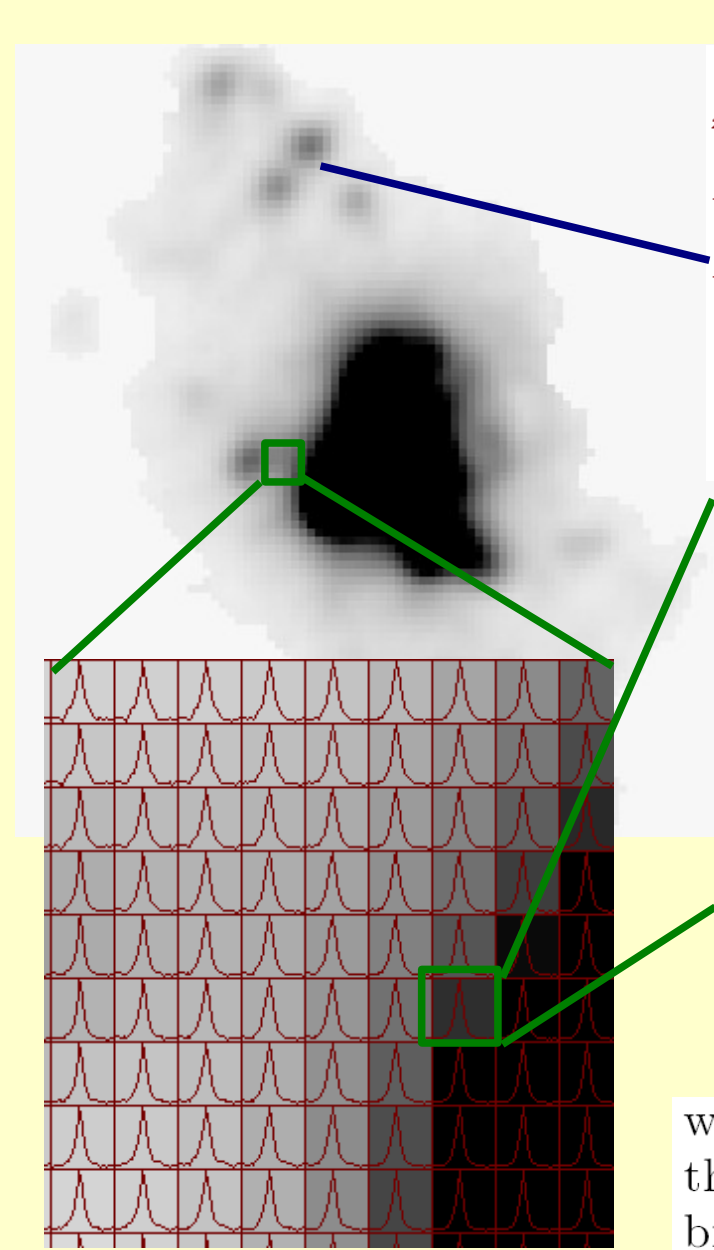
шением (4), то наблюдаемый профиль является сверткой профилей Гаусса и Лоренца, т. е. задается функцией Фойгта (Voigt):

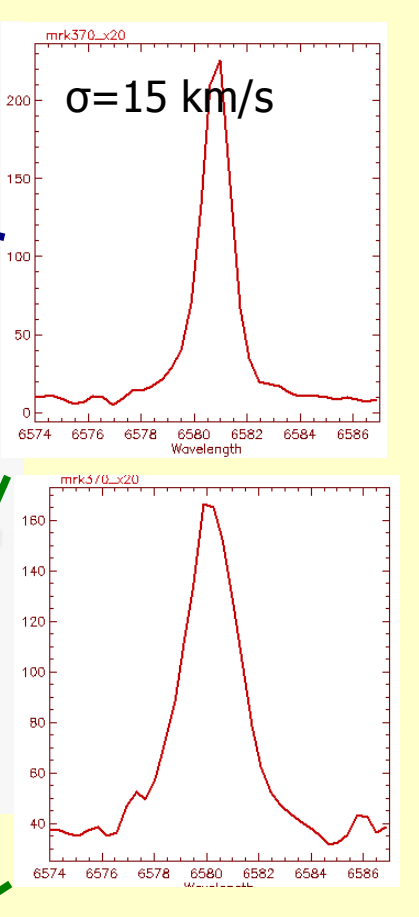
$$V(\lambda, y) = \frac{1}{\sqrt{2\pi}\sigma_{real}} \frac{y}{\pi} \int_{-\infty}^{\infty} \frac{e^{-x^2} dx}{y^2 + (a - x)^2}, \quad (5)$$

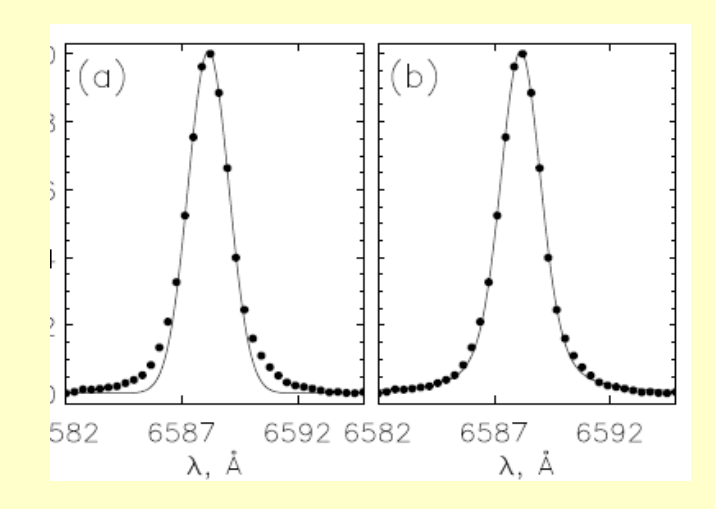
где

$$a = \frac{\lambda - \lambda_0}{\sqrt{2}\sigma_{real}}, \ \ y = \frac{w_{ins}}{\sqrt{2}\sigma_{real}}.$$

Измерение дисперсии скоростей газа



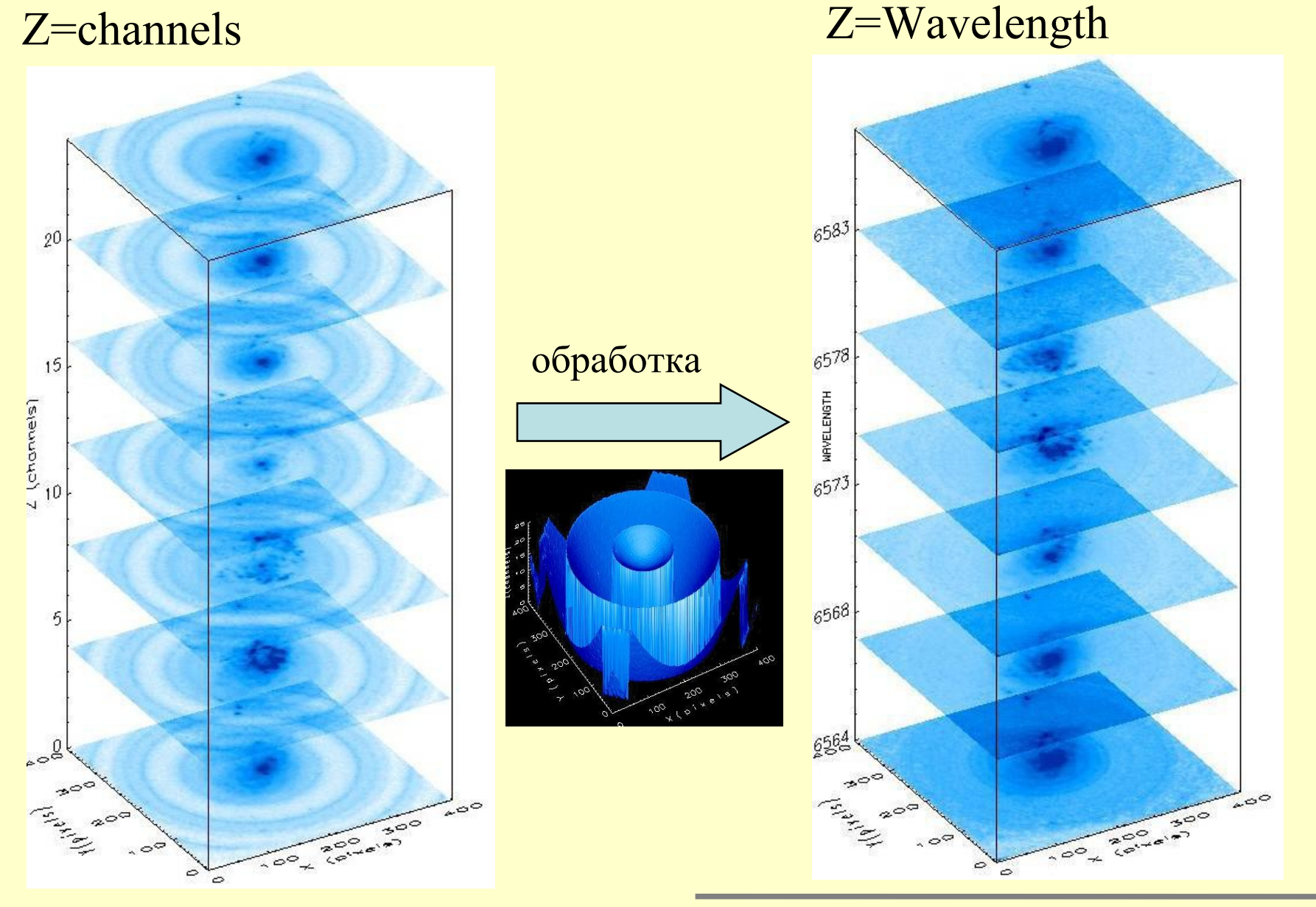




$$\sigma_{real}^2 = \sigma_{gas}^2 + \sigma_N^2 + \sigma_{tr}^2$$

where $\sigma_N^2 \approx 3$ km/s and $\sigma_{tr}^2 \approx 9.1$ km/s correspond to the natural width of the emission line and its thermal broadening at 10^4 K, respectively.

Куб данных, полученный с ИФП



Методика обработки зависит от типа детектора

Счетчик фотонов (IPCS= Image Photon Counting System)

- -QE = 5-20%
- + Время считывания Т~0
- + нет шума считывания
- + Усреднение вариаций яркости линий неба, seeing и атмосферной прозрачности многократным повторением циклов сканирования (~20 с/канал)
- Требуется делать отдельный прибор, так как для других типов наблюдений предпочтительнее ПЗС.

ПЗС-матрица (CCD)

- + QE > 80-90%
- + линейность, динамич. диапазон
- Время считывания: десятки секунд
- шум считывания 2-3 ē
- один цикл сканирования, 100-300 с/канал
- сложнее обработка (вычитание неба, фотометрическая коррекция)
- требуется больше площадь для вычитания неба
- + Установка в многорежимном редукторе светосилы

CIGALE = "Cinematique des Galaxies"

J. Boulesteix + 1984

И система зашагала по телескопам:

3.6-m CFHT

1.5-m ESO

6-m BTA +KVANT(!)

TAURUS (Taylor & Atherthon 1980) TAURUS-2 (WHT 4.2m, AAO 3.6m) PUMA (OAN 2.1m) SCORPIO (BTA 6m)

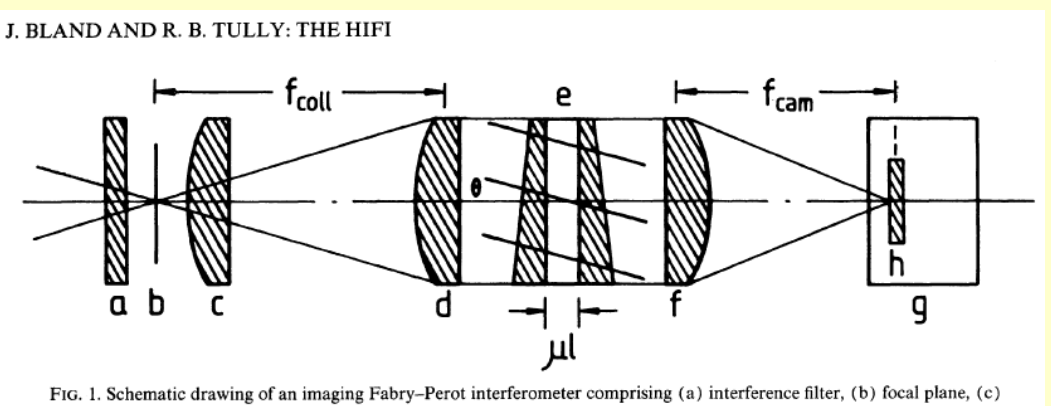
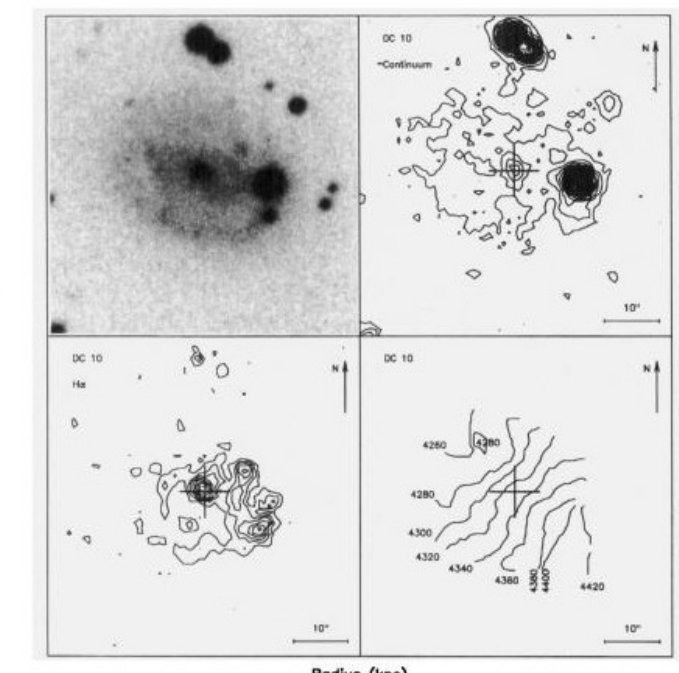
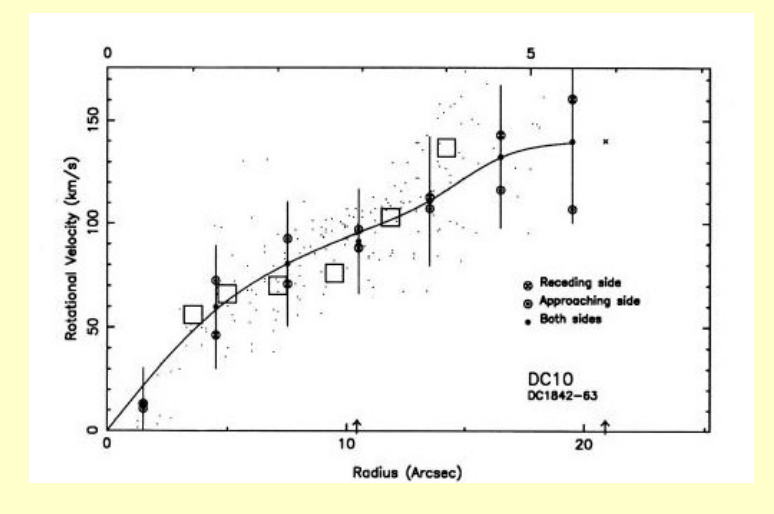


Fig. 1. Schematic drawing of an imaging Fabry-Perot interferometer comprising (a) interference filter, (b) focal plane, (c) field lens, (d) collimator lens, (e) Fabry-Perot etalon, (f) camera lens, (g) Dewar housing, (h) CCD.

P. Amram et al.: $H\alpha$ velocity fields and rotation curves of galaxies in clusters. III.







GHaFaS: Galaxy Halpha Fabry-Perot Spectrometer

3th-generation (IPCS), QE=23% GaAs фотокатод + микроканальная пластина

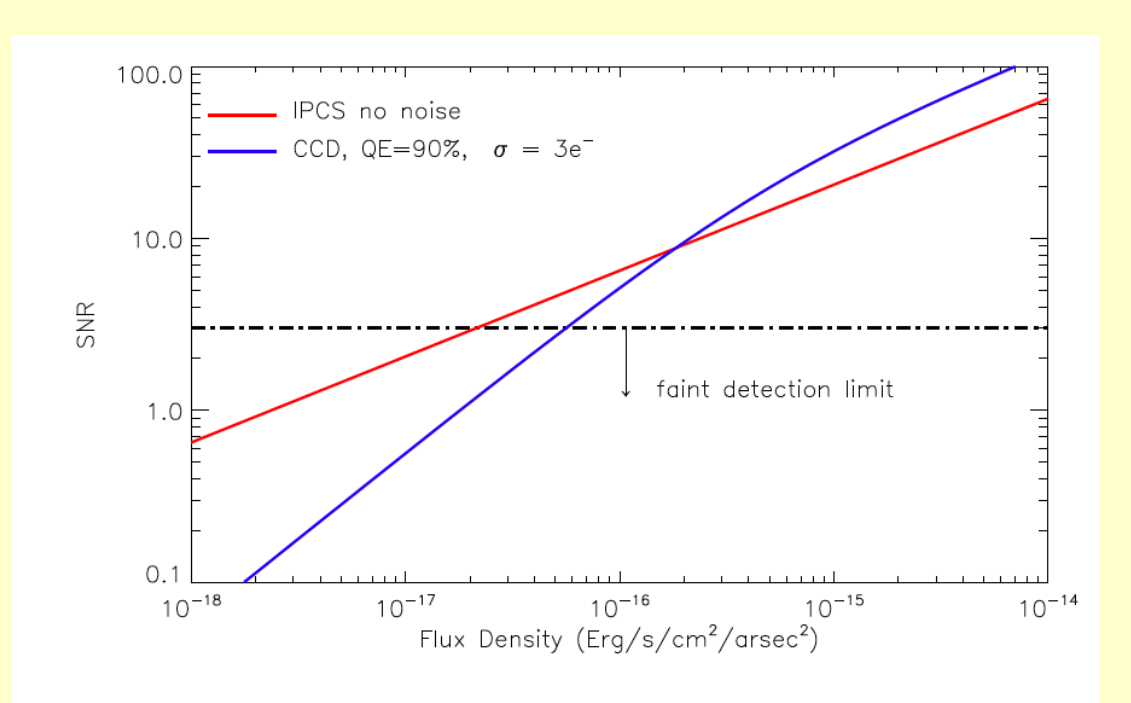
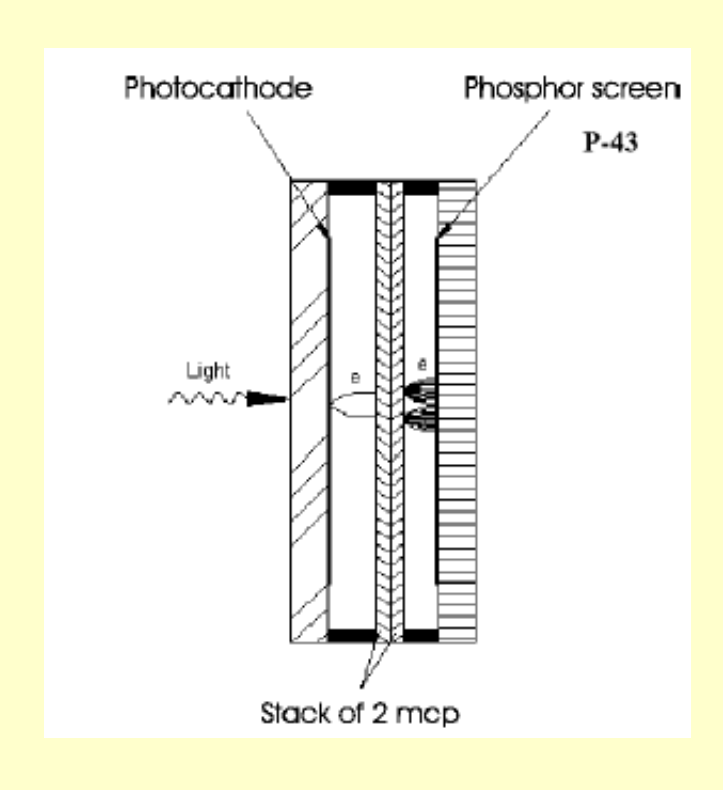


Fig. 5.— Signal to noise ratio comparison: IPCS and CCD at the WHT. The red line shows the SNR for an IPCS, for a 3 hour exposure of 40 cycles with 48 channels, on a 4.2m telescope with a pixel size of 0.5" assuming a trough-put of the telescope of 80%. The blue line shows the SNR of a scientific grade CCD with a QE of 90% and a readout noise (σ) of $3e^-$ in the same exposure conditions. The faint detection limit is



Выигрыш по сравнению с ПЗС, когда T(exp)< T(read-out)

Gach + 2002 Hernandez + 2008

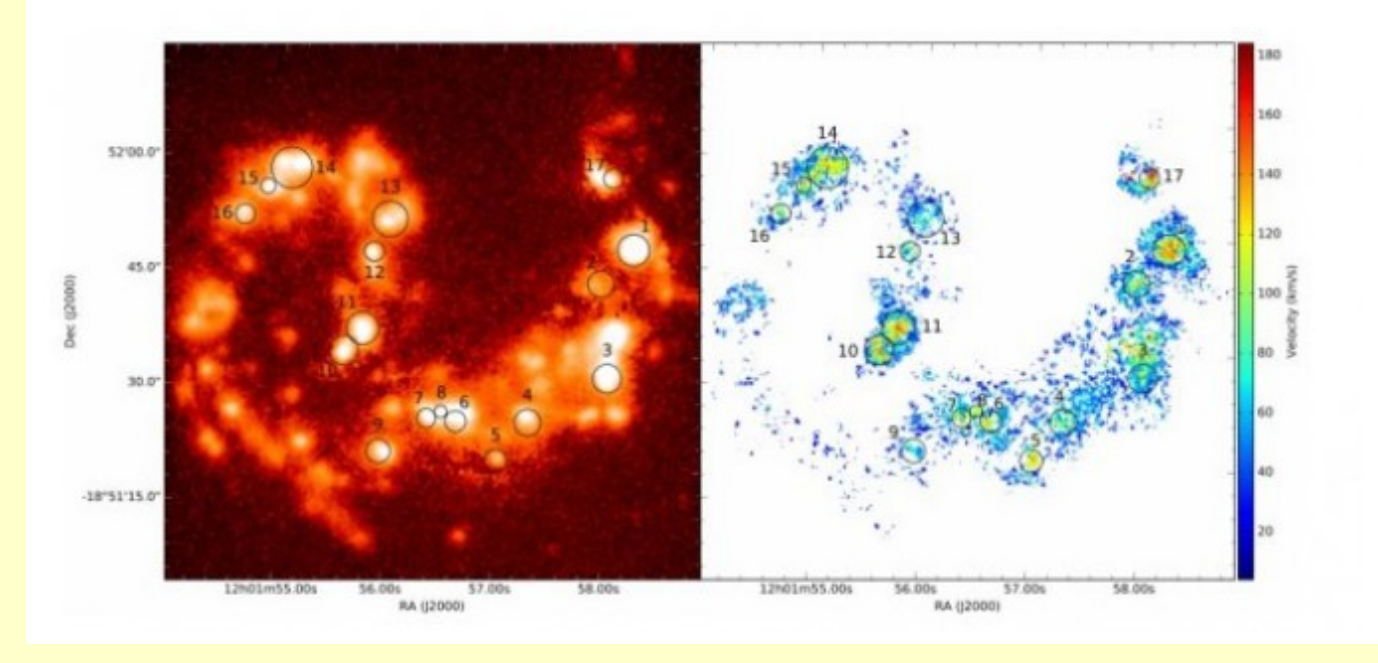
GHaFaS: Galaxy Halpha Fabry-Perot Spectrometer



Superbubbles in the interstellar medium

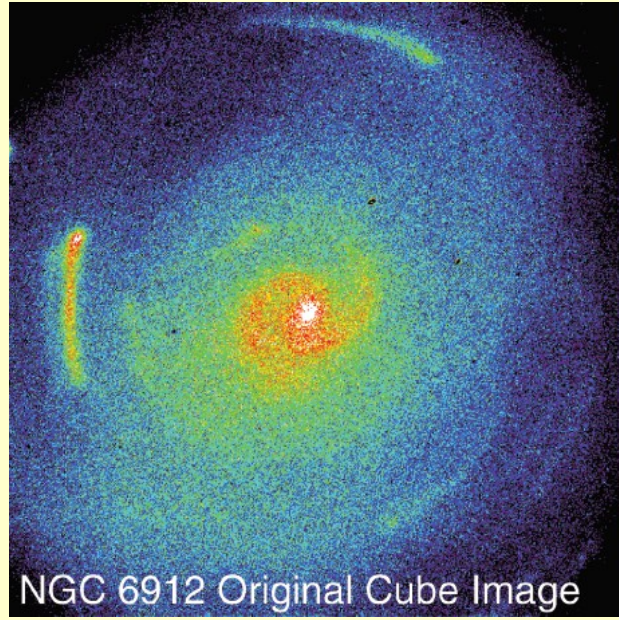
May. 1, 2017

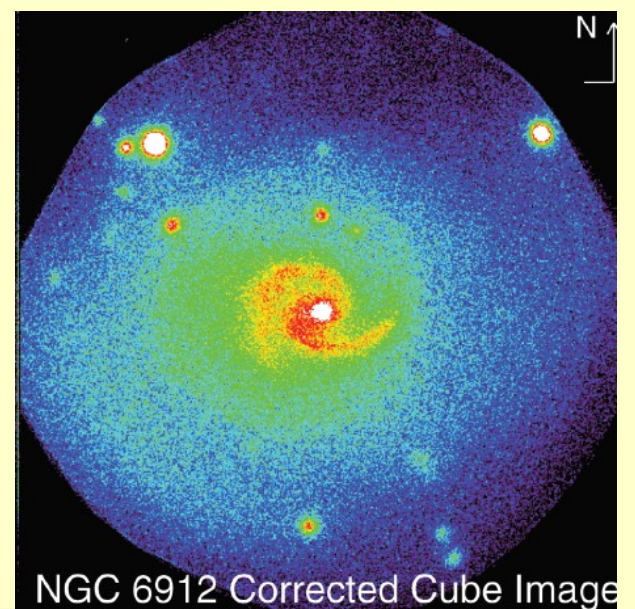
Their detection in the interacting galaxies, the "Antennae", was possible thanks to a new method –BUBBLY- developed by IAC researchers and the GHaFaS instrument installed on the William Herschel Telescope.



GHaFaS: Galaxy Halpha Fabry-Perot Spectrometer

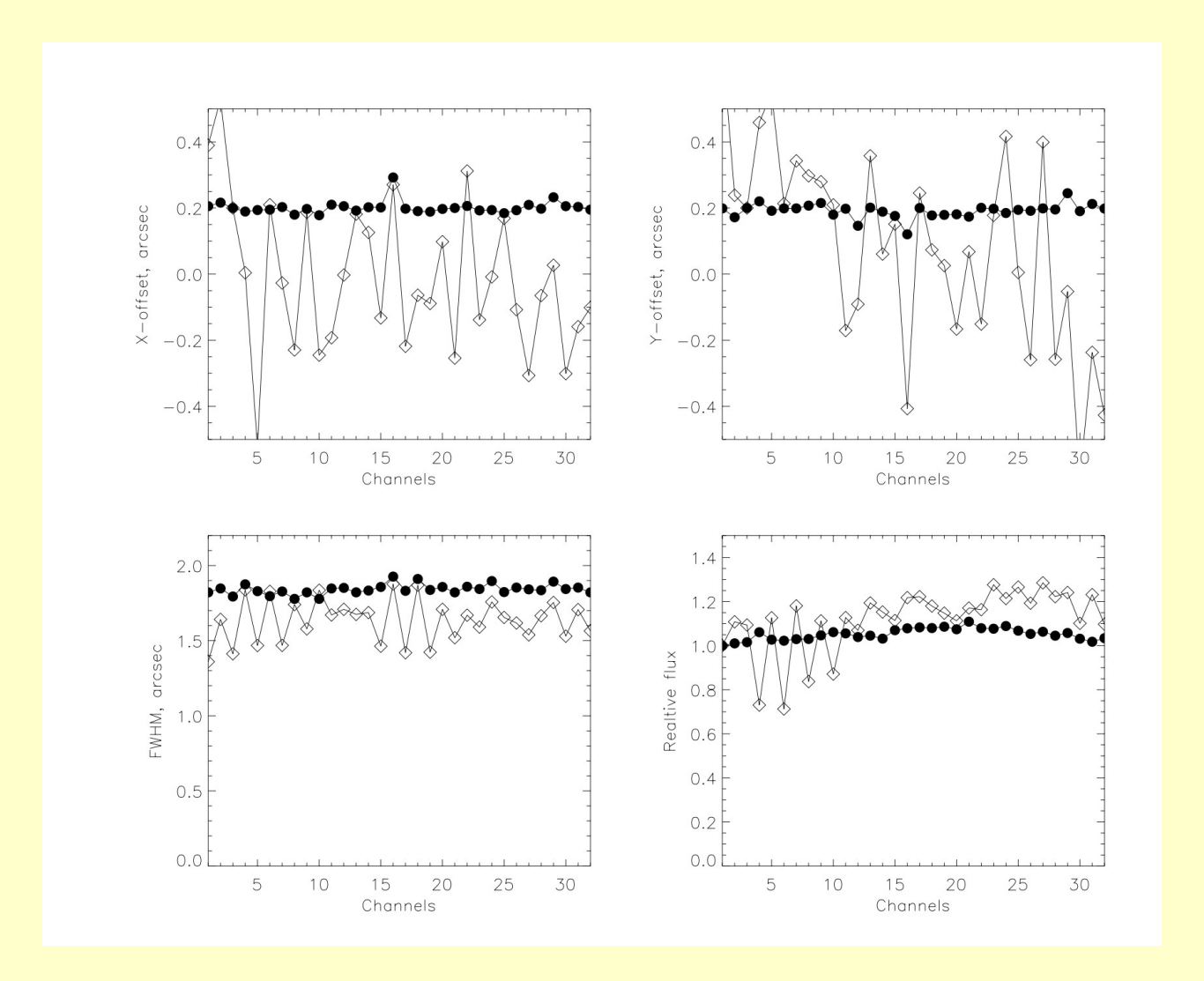






- Вращение поля: требуются минимум 2 ярких звезды для "деротации"

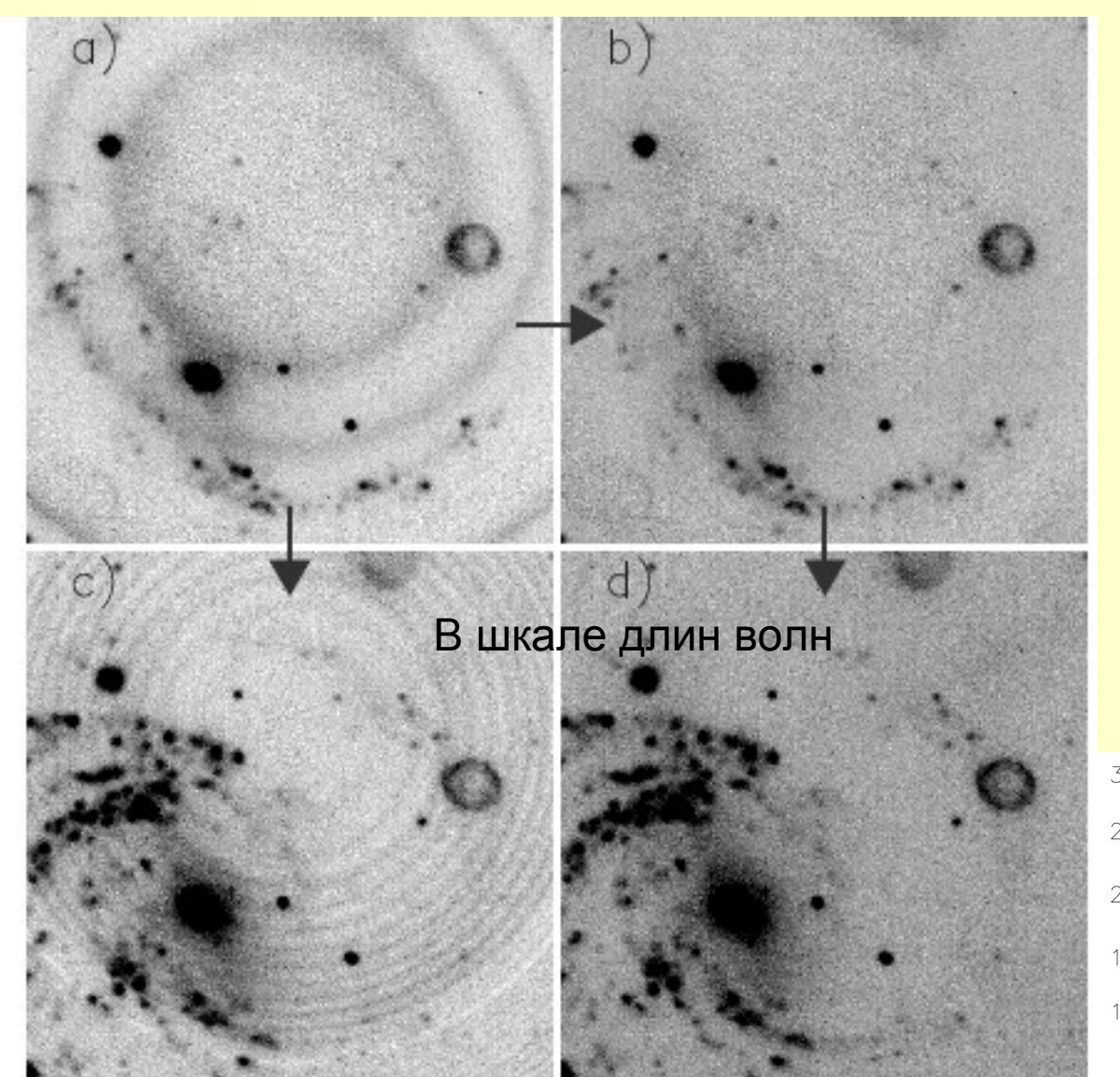
Обработка данных с ПЗС: фотометрическая коррекция



Moiseev (2002)

До и после коррекции. Сперва наблюдаем нечетные каналы, потом - четные

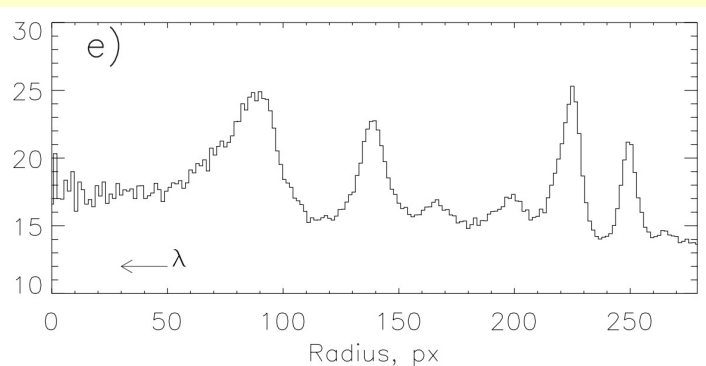
Обработка данных с ПЗС: вычитание фона неба



Вычитание неба в каждом канале ДО приведения в шкалу длин волн

Moiseev (2002)

Радиальный профиль $_{\rm spk}$ ости неба \rightarrow

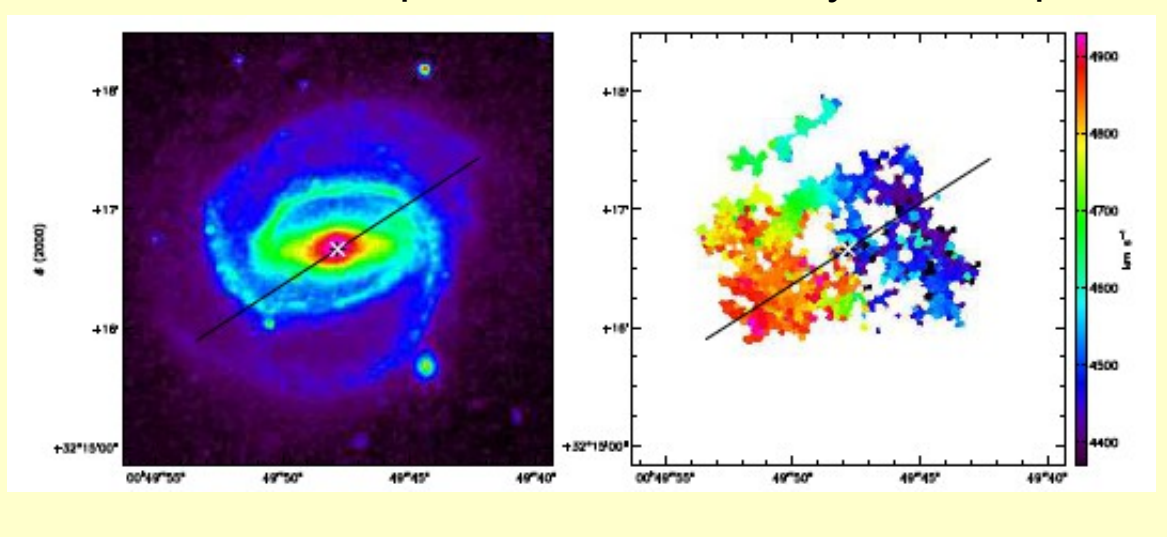


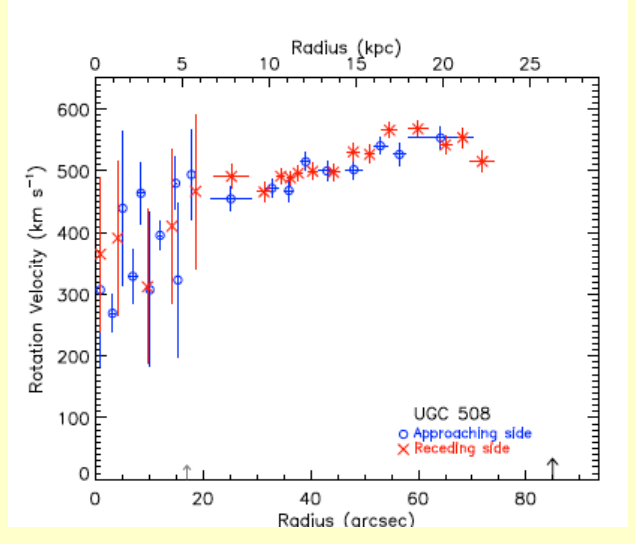
Где это интересно?

Техника считается "сложной", но обладает рядом преимуществ, в сравнении с другими методами 3D спектроскопии:

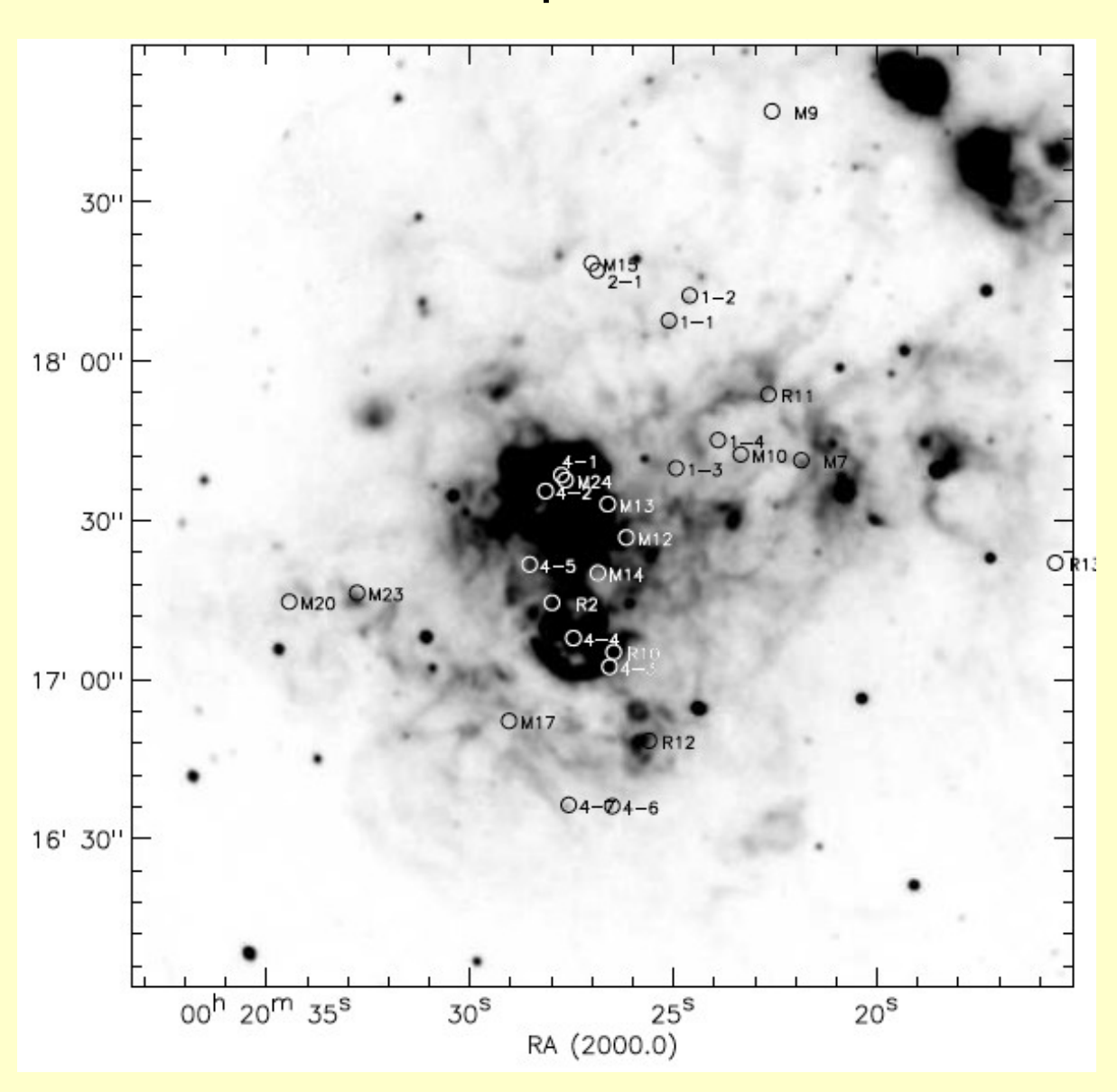
- большое поле зрения: FOV > 1 arcmin
- высокое спектральное разрешение: R>5000-10000
- достаточно измерений в 1-2 эмиссионных линиях
- => Кинематика газа в галактиках и туманностях

GHASP: An Halpha kinematic survey of 203 spiral and irregular galaxies





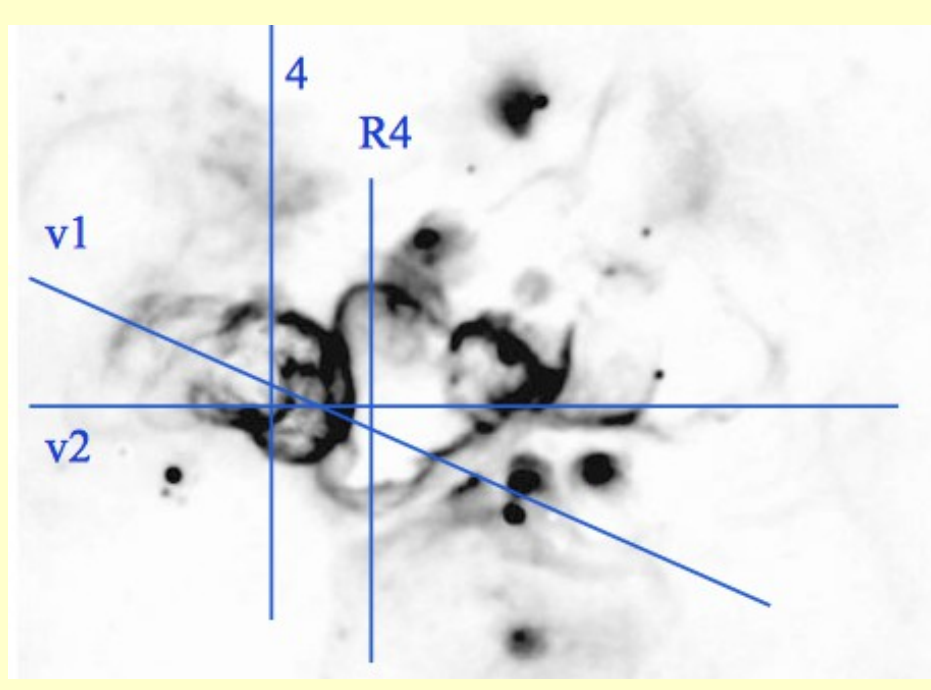
Области звездообразования в IC10

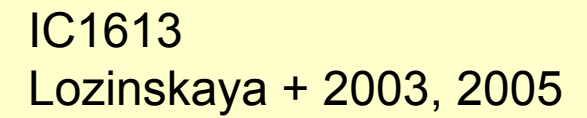


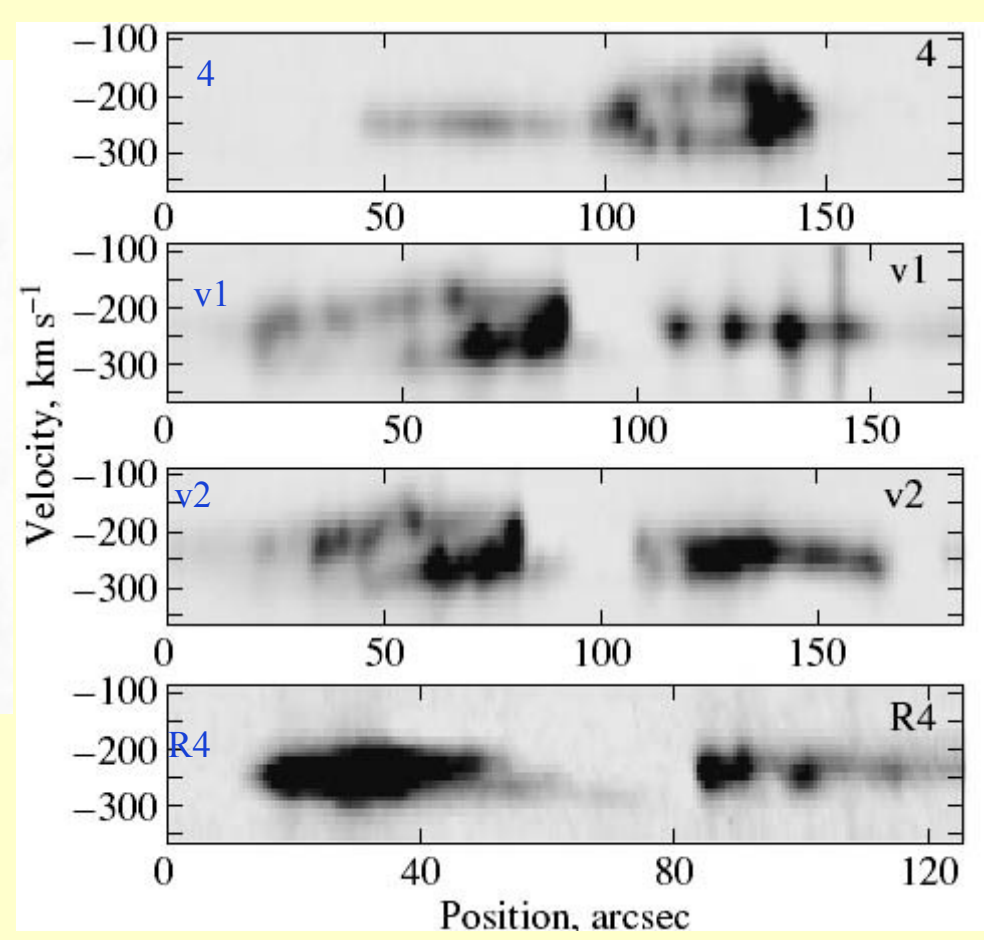
Полный куб: 1024x1024x36 0.35"/px seeing=1.2"

Lozinskaya+08

Способы визуализации куба: PV-диаграммы

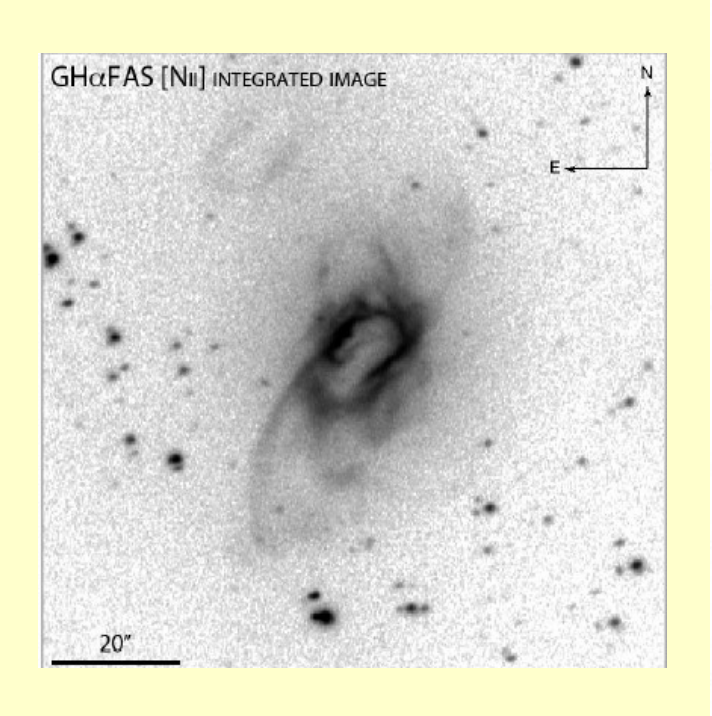


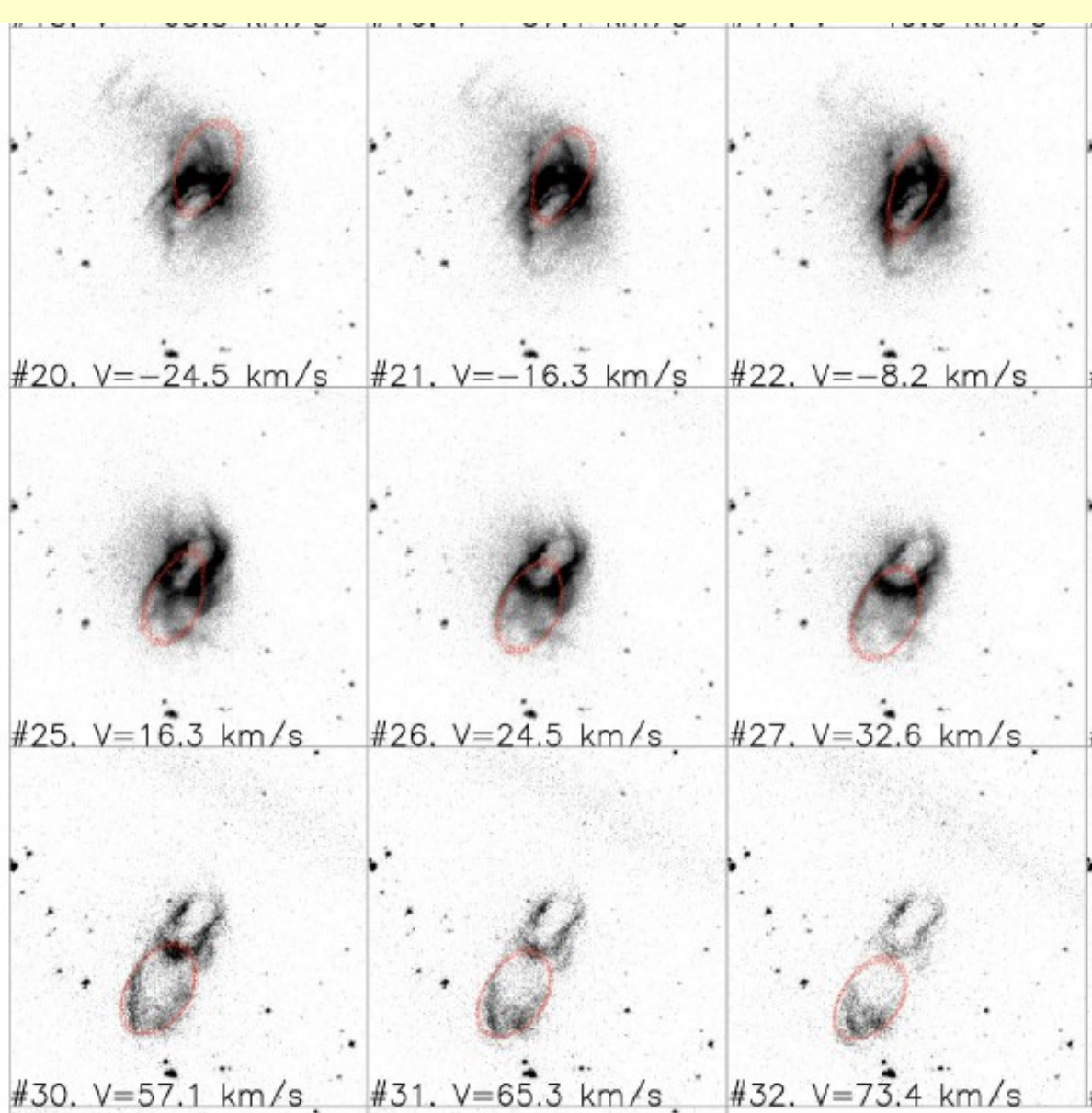




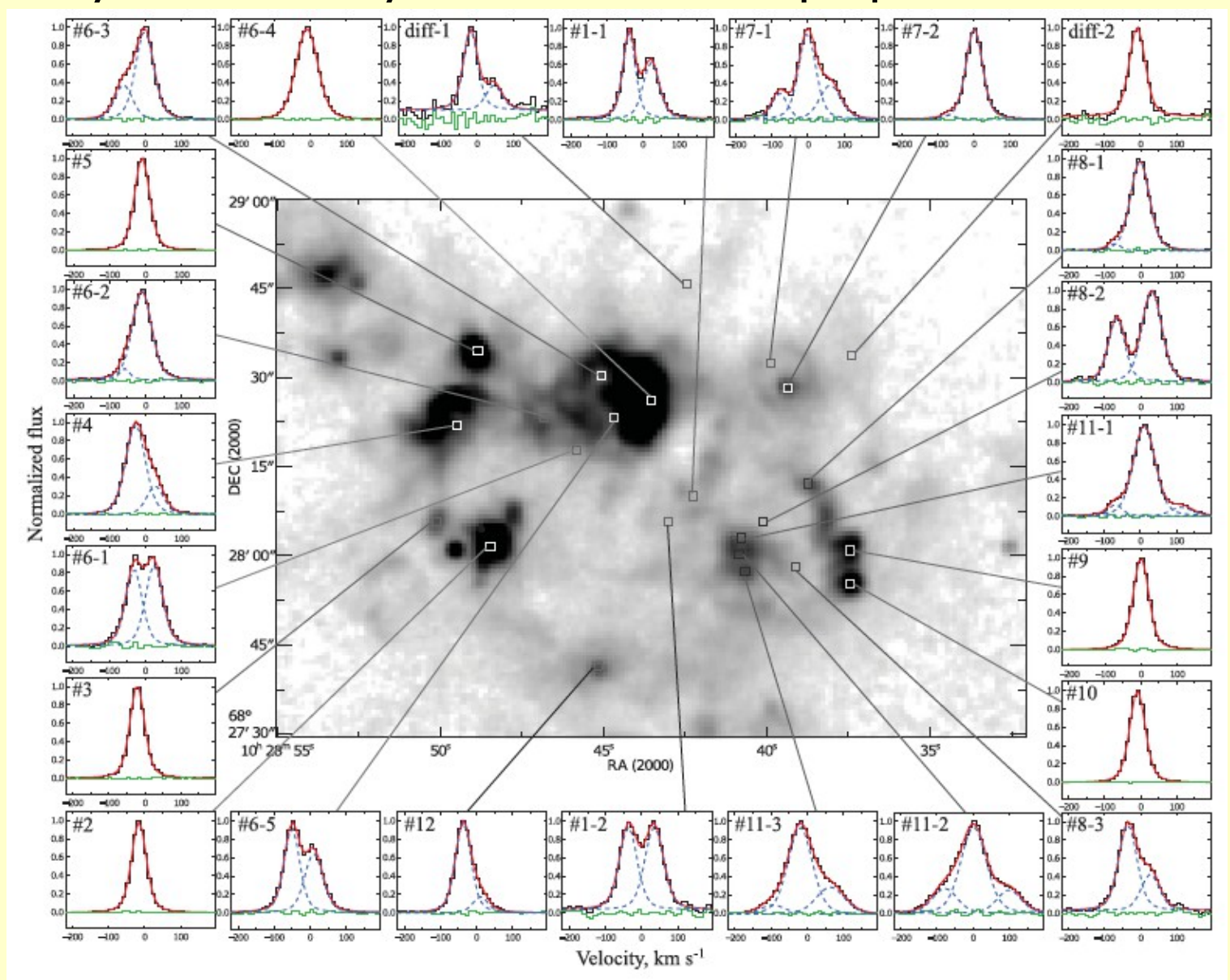
Способы визуализации куба: поканальные карты

Quadrupolar nebula M1–75 (Santander-García + 2010)



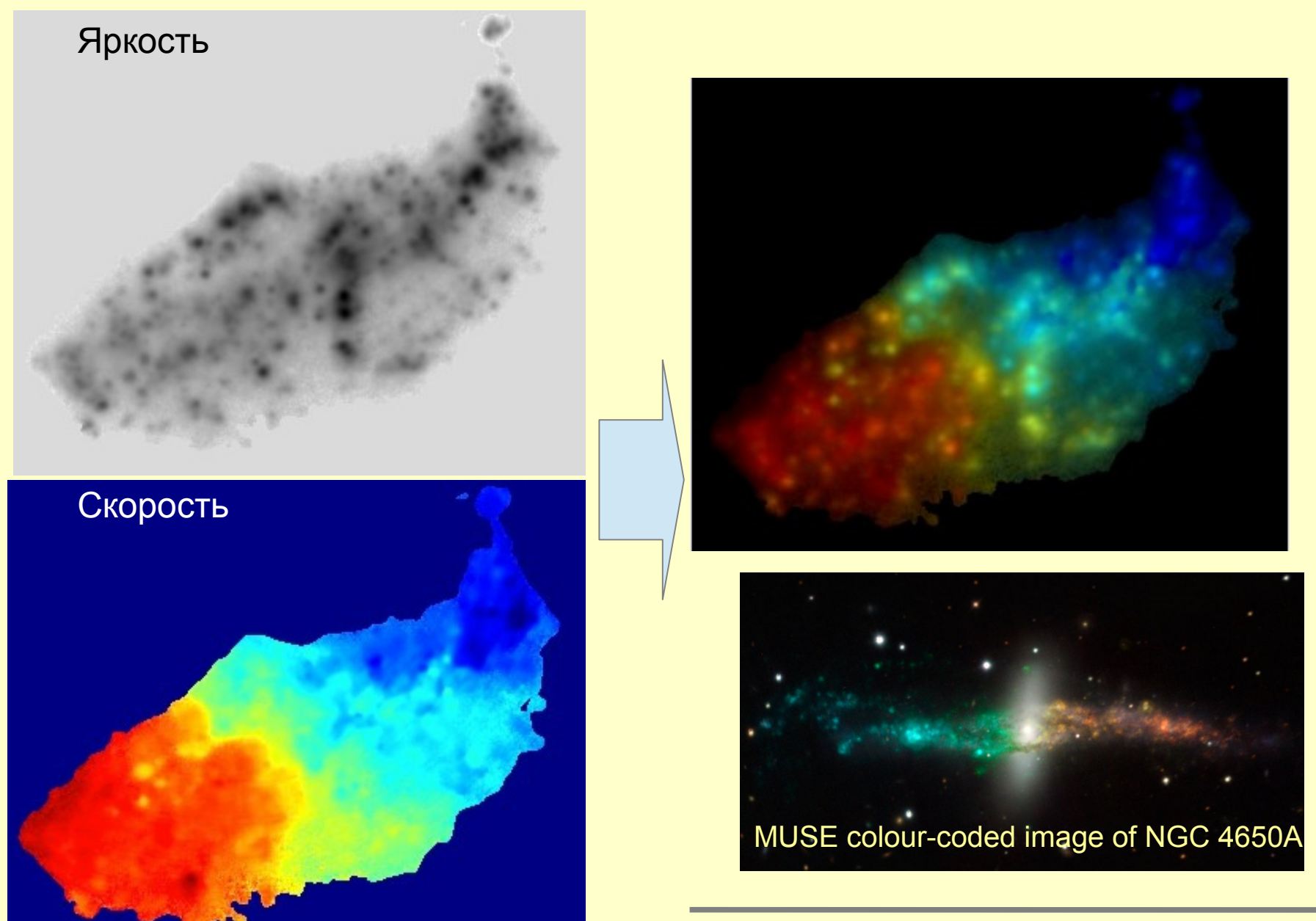


Способы визуализации куба: отдельные профили

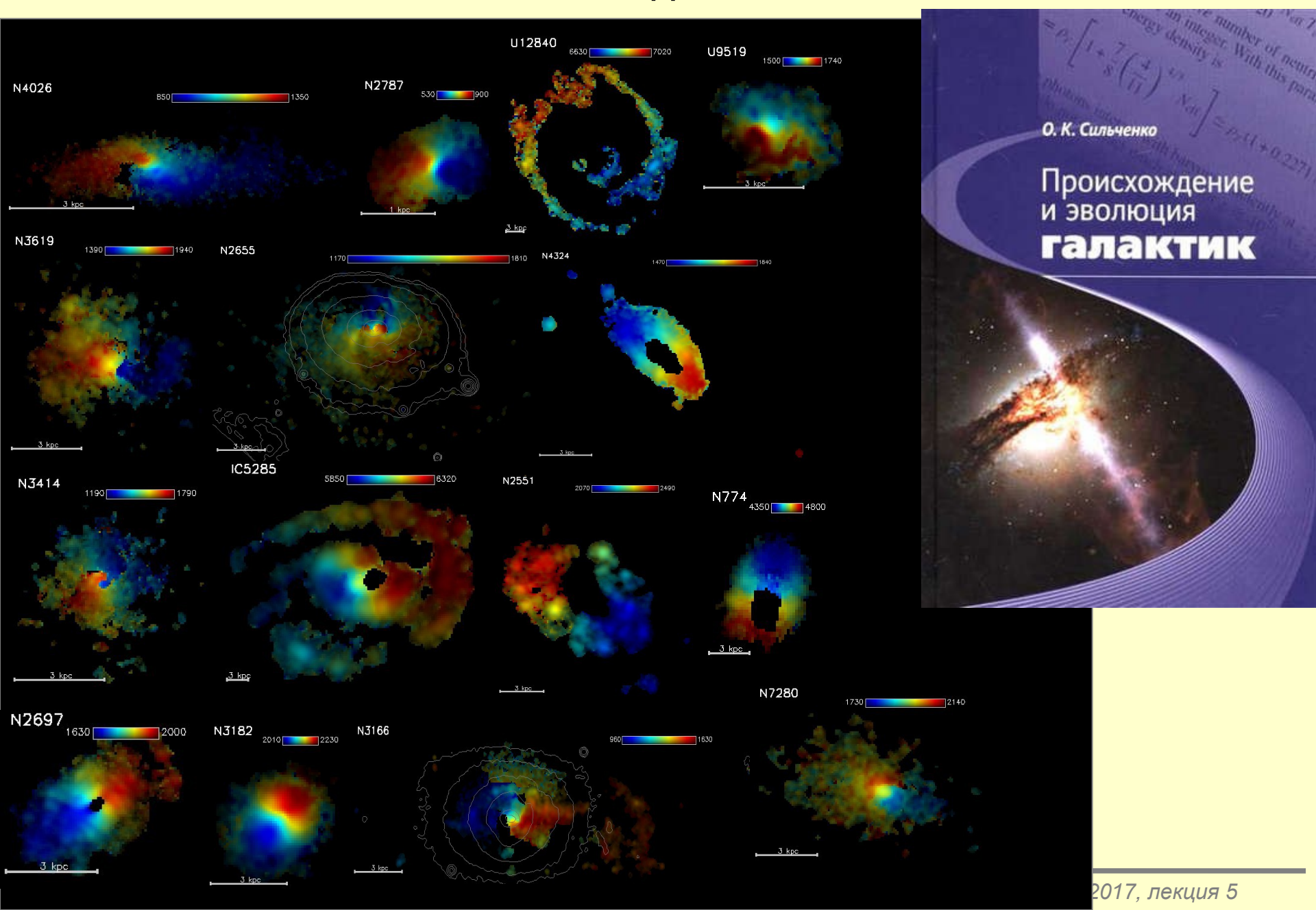


Egorov+2014

Способы визуализации куба: совмещение карт



Ионизованный газ в линзовидных галактиках



А что с абсорционными линиями?

ASTRONOMICAL JOURNAL VOLUME 107, NUMBER 6 JUNE 1994

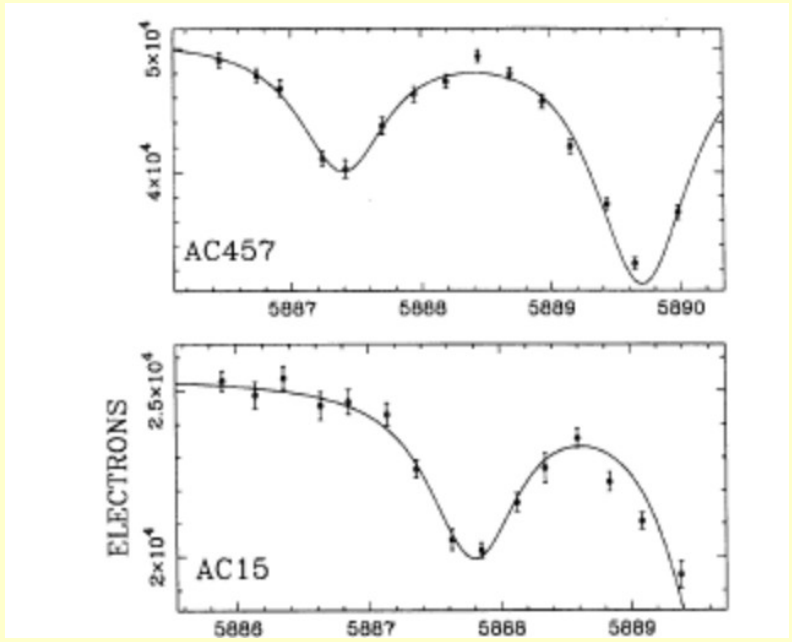
FABRY-PEROT MEASUREMENTS OF THE DYNAMICS OF GLOBULAR CLUSTER CORES: M15
(NGC 7078)

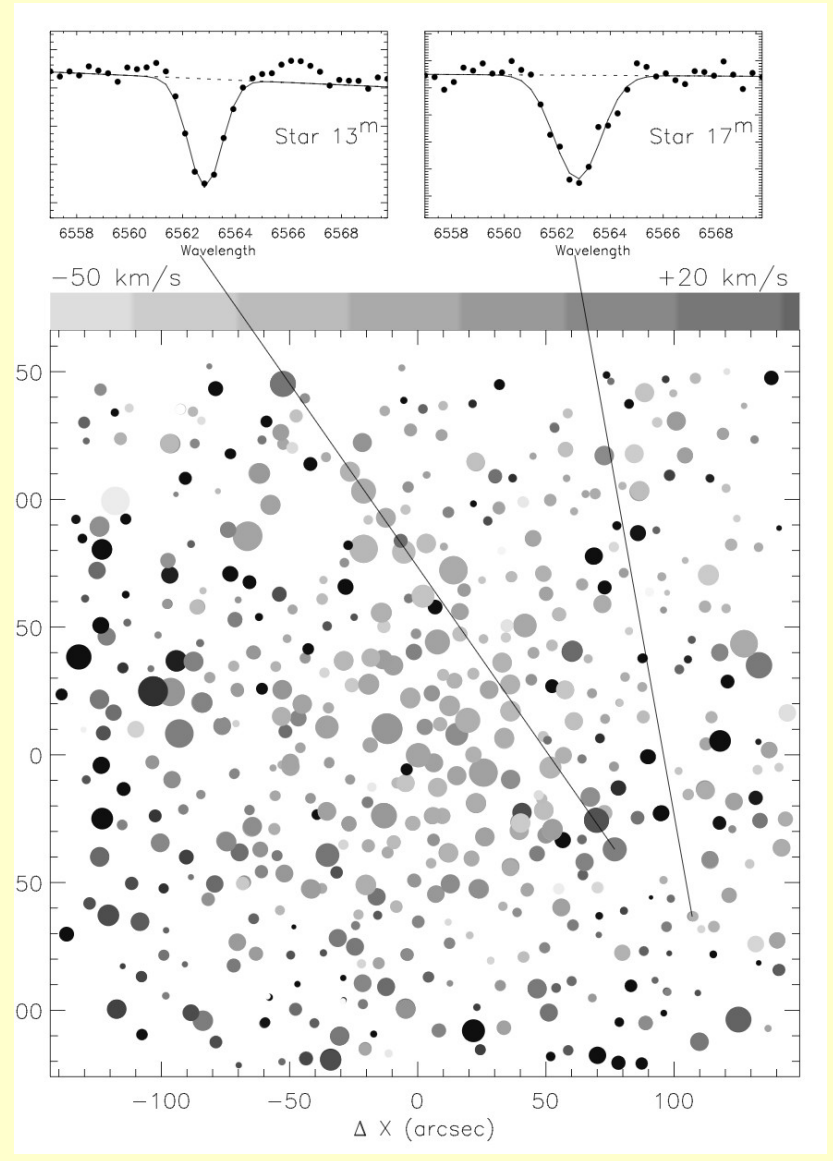
K. GEBHARDT, ¹ C. PRYOR, ¹ AND T. B. WILLIAMS ¹

Department of Physics and Astronomy, Rutgers, The State University, Box 0849, Piscataway, New Jersey 08855-0849
Electronic mail: gebhardt@physics.rutgers.edu, pryor@physics.rutgers.edu, williams@physics.rutgers.edu

JAMES E. HESSER

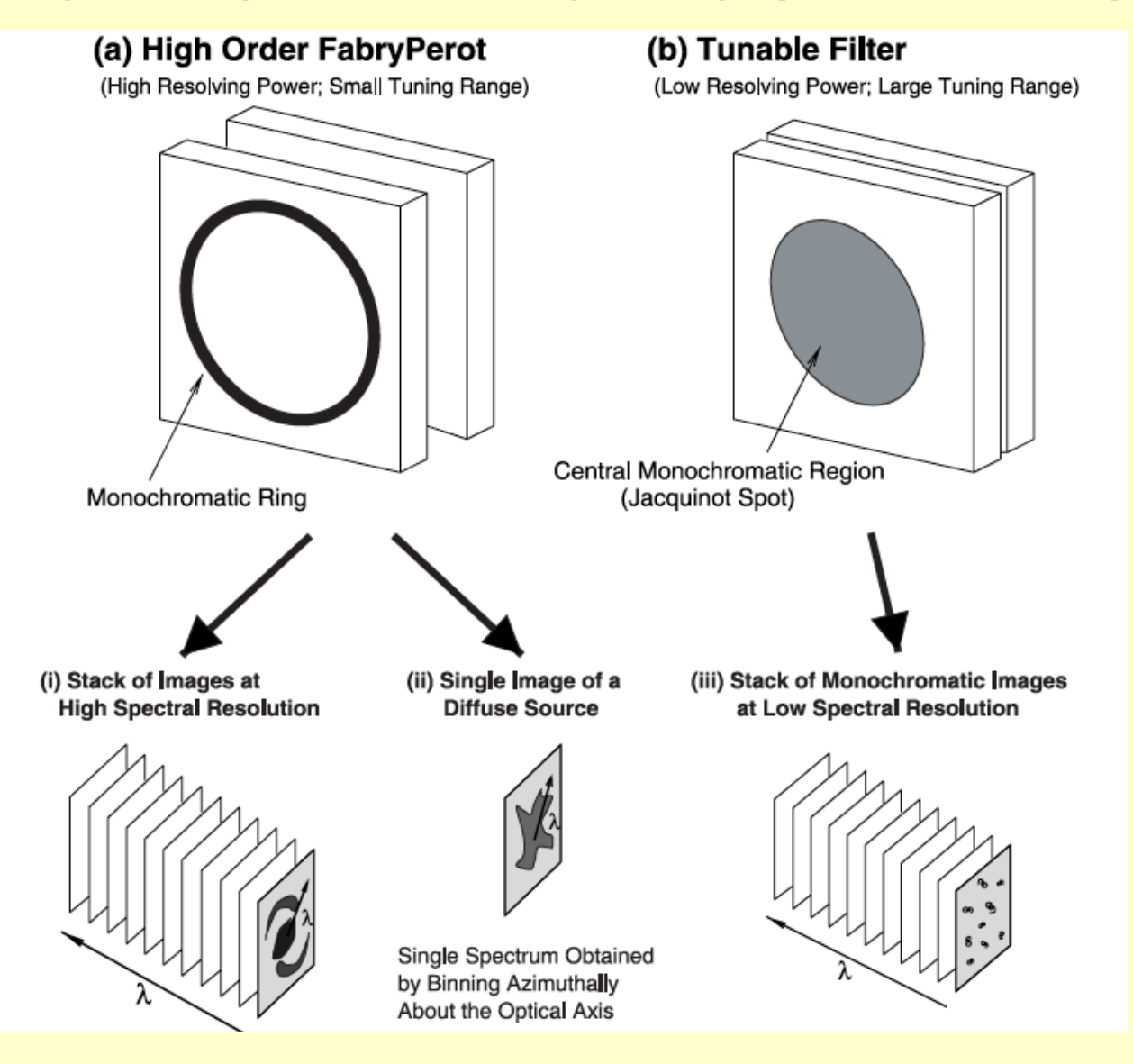






M71, точность $\delta v = 2-4$ км/с (Moiseev 2002)

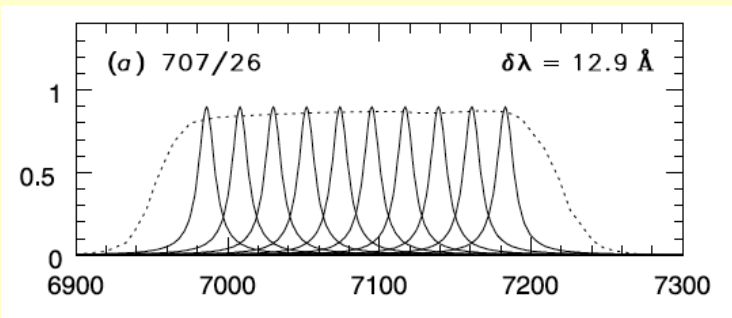
Перенастраиваемый фильтр (tunable filter)



Низкие порядки интерференции

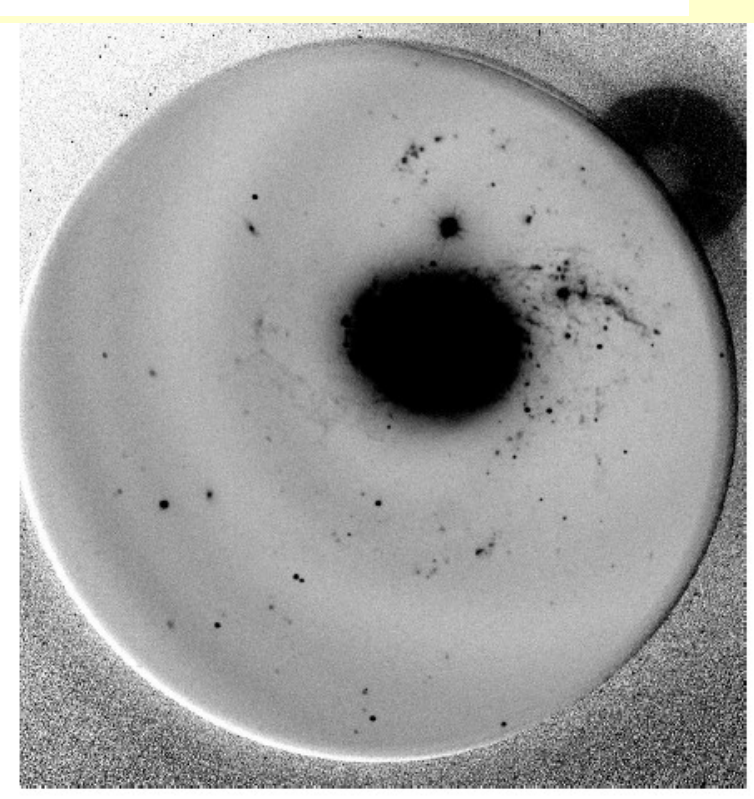
N=30-50 Δλ =150-300 A δλ =10-20 A

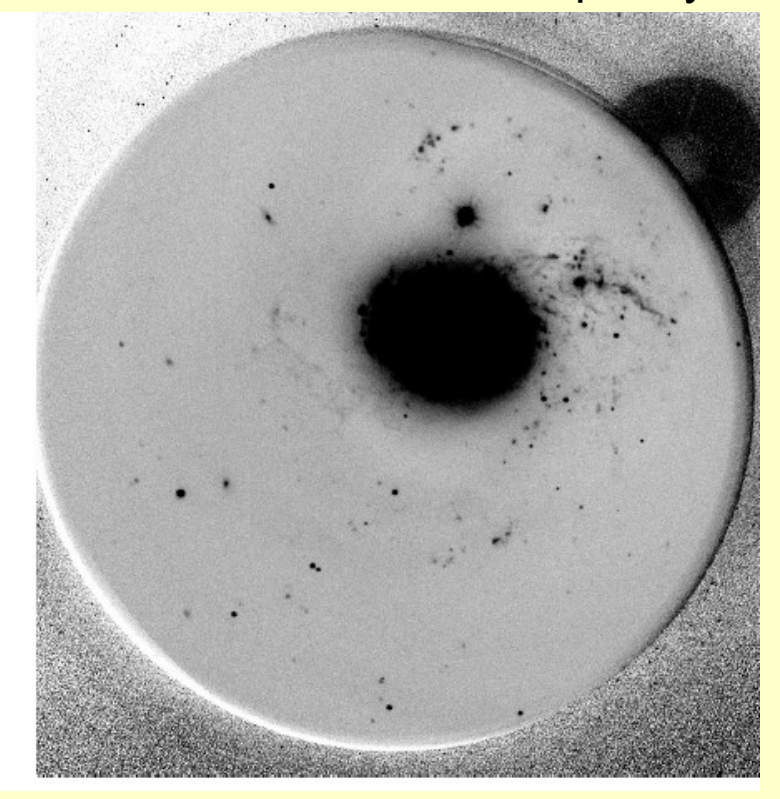
TAURUS Tunable Filter (3.9m AAT, 4.2m WHT)



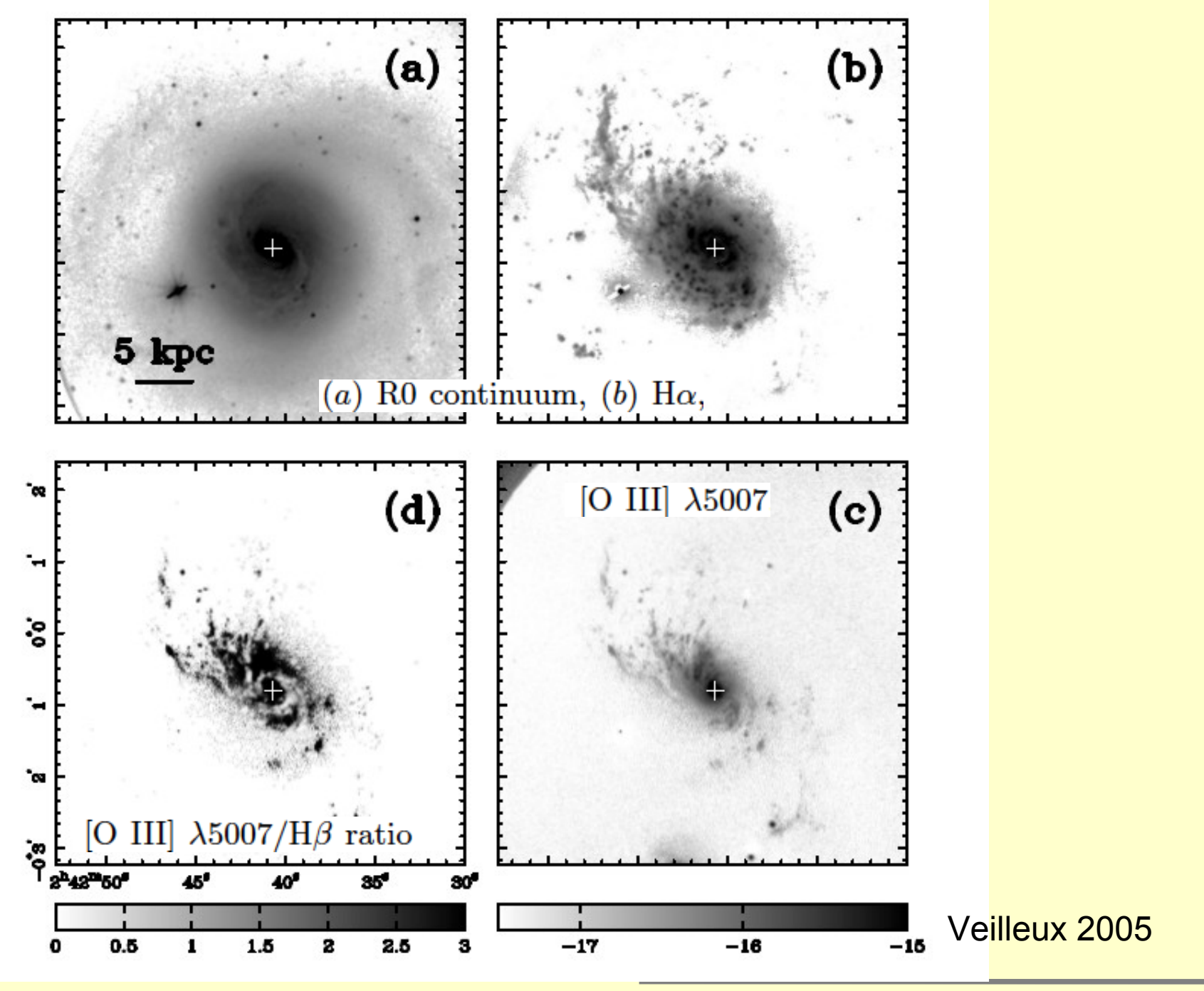
- Возможность аккуратно вычесть континуум
- разрешить линии Нальфа и [NII]6548,6583

Но длины волн меняются с радиусом:

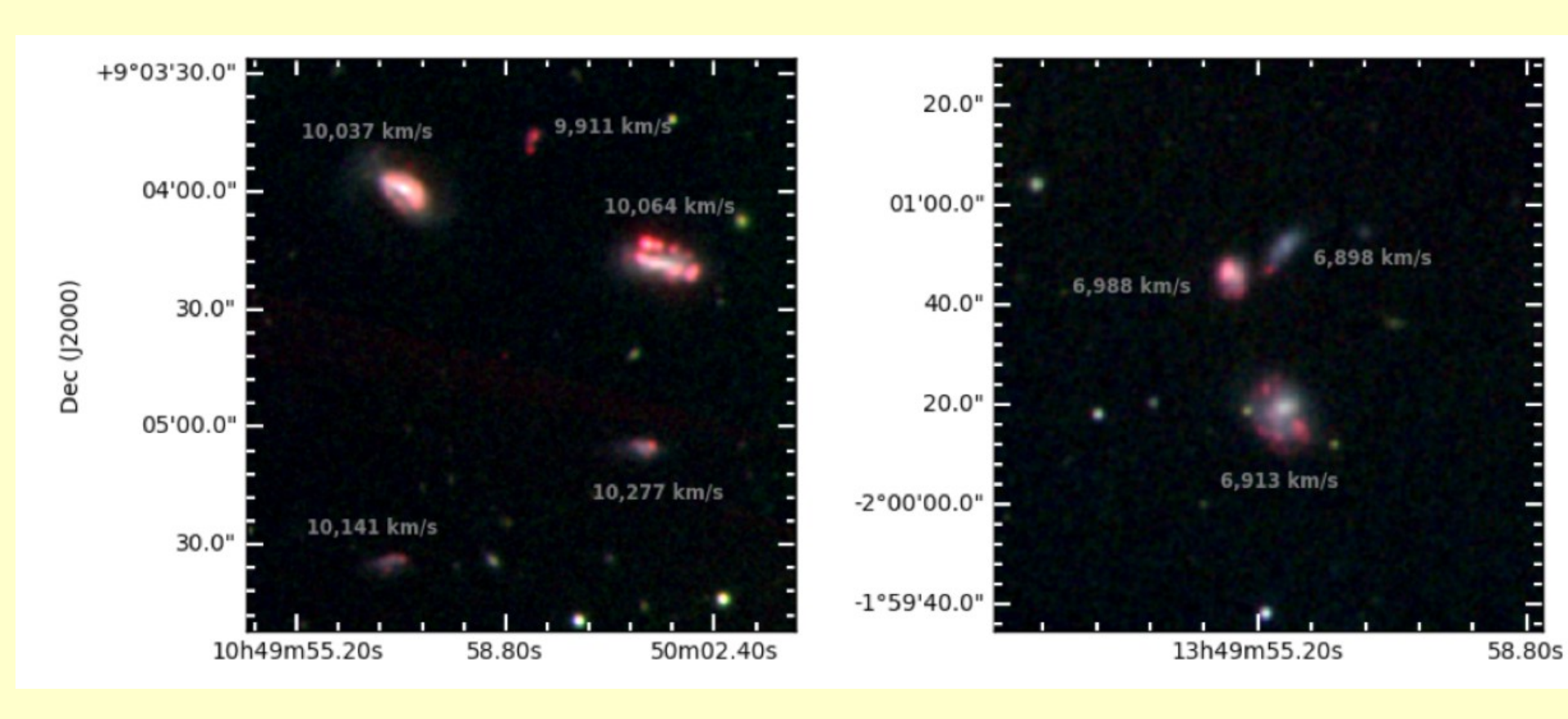




Jones + 2002



MMTF: THE MARYLAND-MAGELLAN TUNABLE FILTER

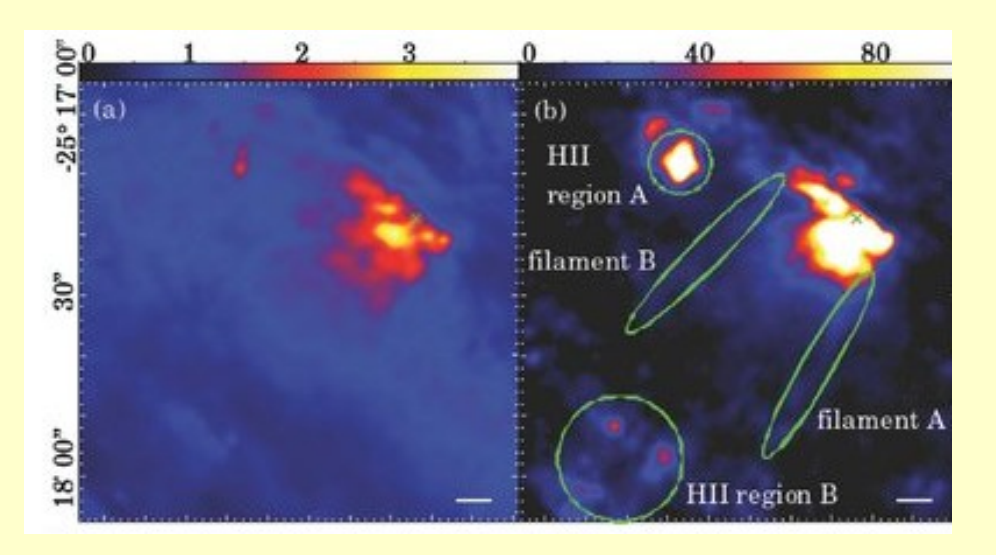


Stierwalt+17, Nature

Veilleux+2010

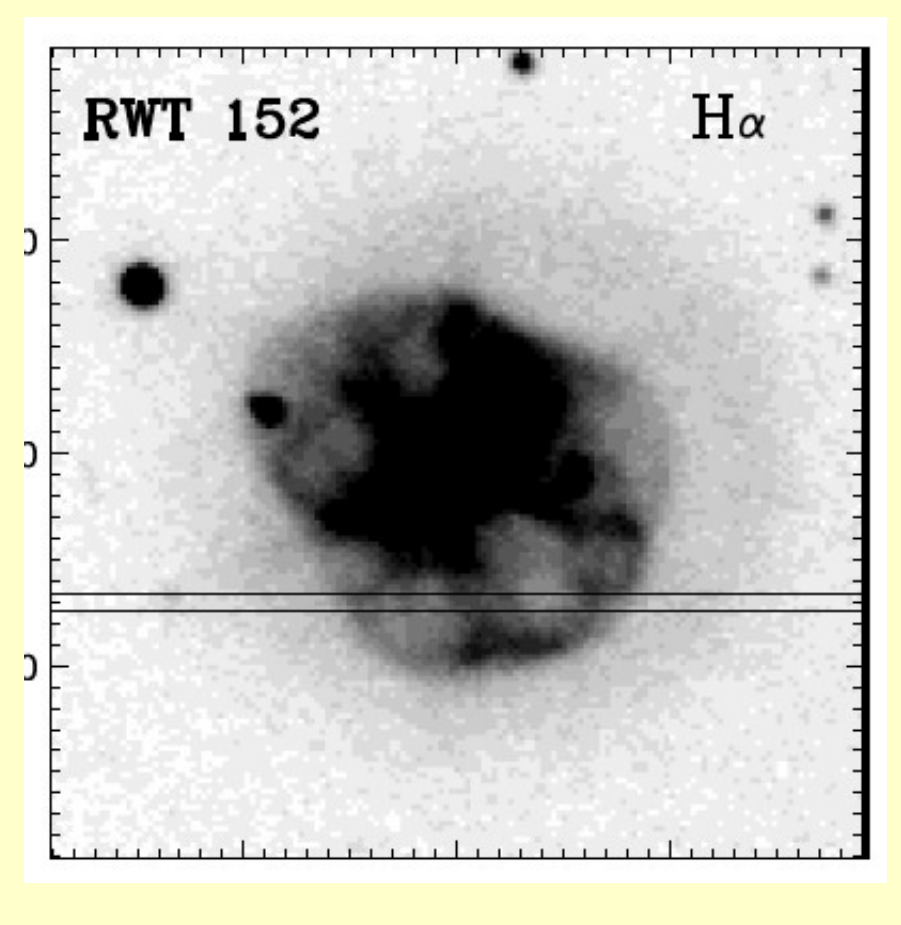
TF на больших телескопах

SUBARU



(Matsubayashi + 09)

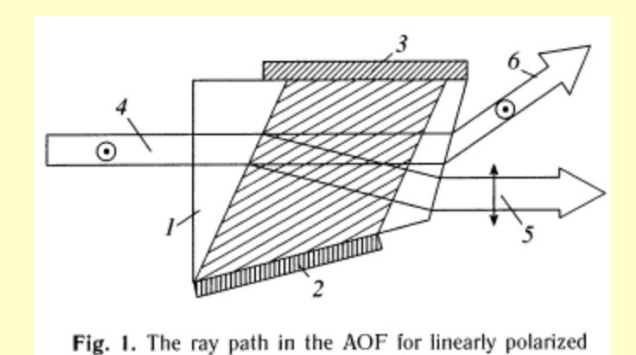
GTC/OSIRIS



БТА – готовимся к первому свету!

(Aller + 16)

Немного экзотики: акусто-оптический фильтр



incident light (see the text).

718

Acousto-optical material

Type of acousto-optical interaction

Optical aperture

Angular filter aperture

Spectral range

Pass bandwidth (FWHM) at λ6365 Å

Range of control frequencies

Control power at $\lambda6365$ Å

Efficiency for linear polarization

Input resistance in the range of control frequencies

Spatial resolution

Paratellurite

Noncollinear wide-angle

 $15 \times 15 \,\mathrm{mm}$

7°

6300-11000 Å

12 Å

67-133 MHz

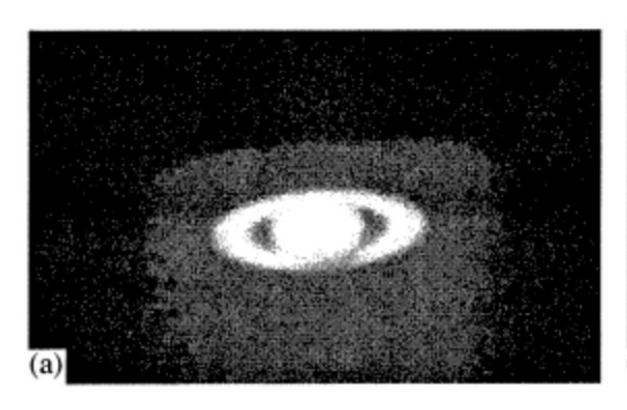
1.7 W

80%

 50Ω

Less than 1"

MOLCHANOV et al.



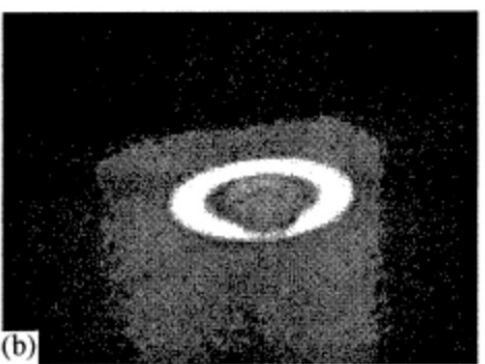
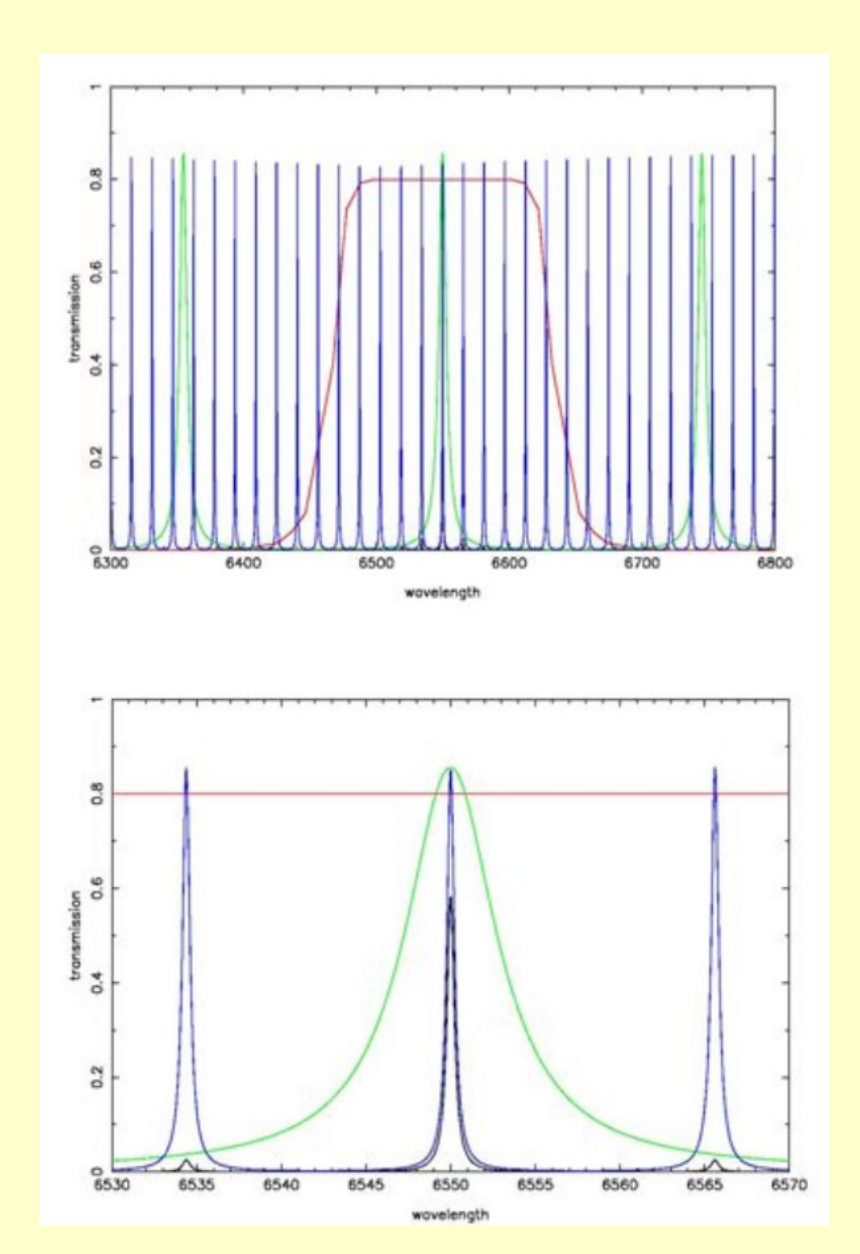


Fig. 6. Saturn's images at (a) $\lambda 8500$ and (b) $\lambda 8870$ Å obtained with the acousto-optical imaging spectrophotometer on September 15, 2001.

Немного экзотики: двойной Фабри-Перо



Коминация интерферометров высокого и низкого разрешения позволяет обойтись без дополнительных фильтров.

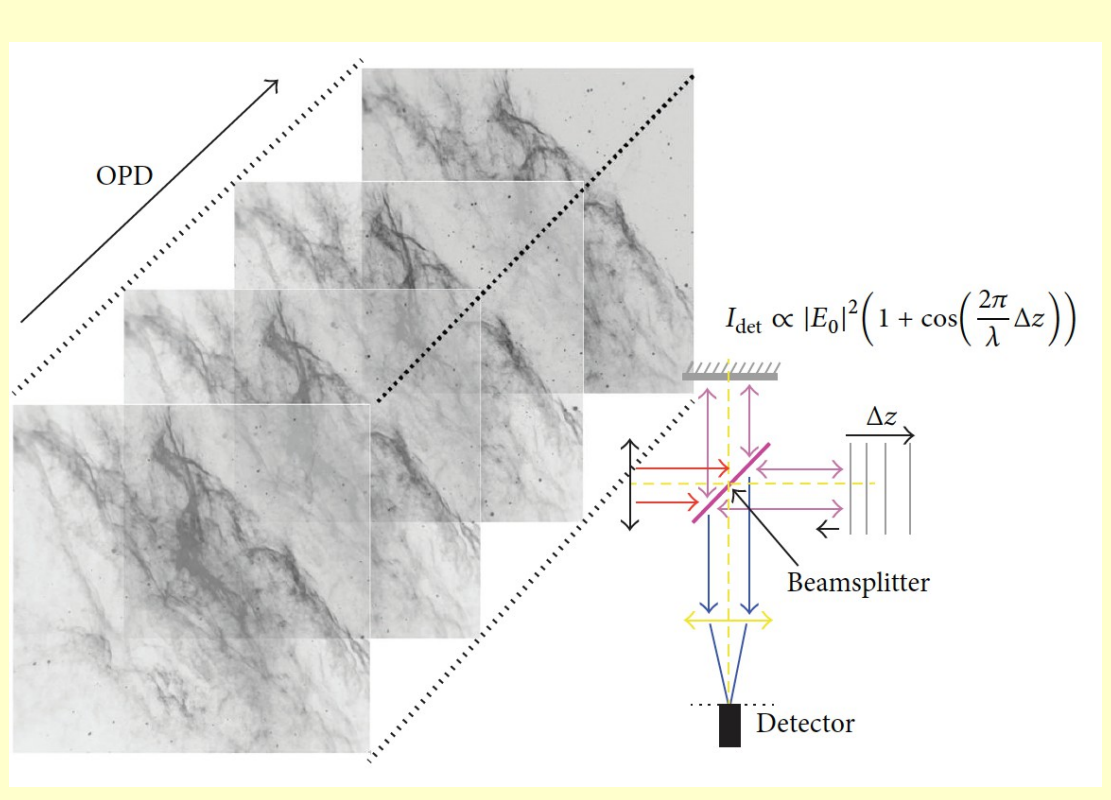
Система работает на ряде солнечных телескопов,

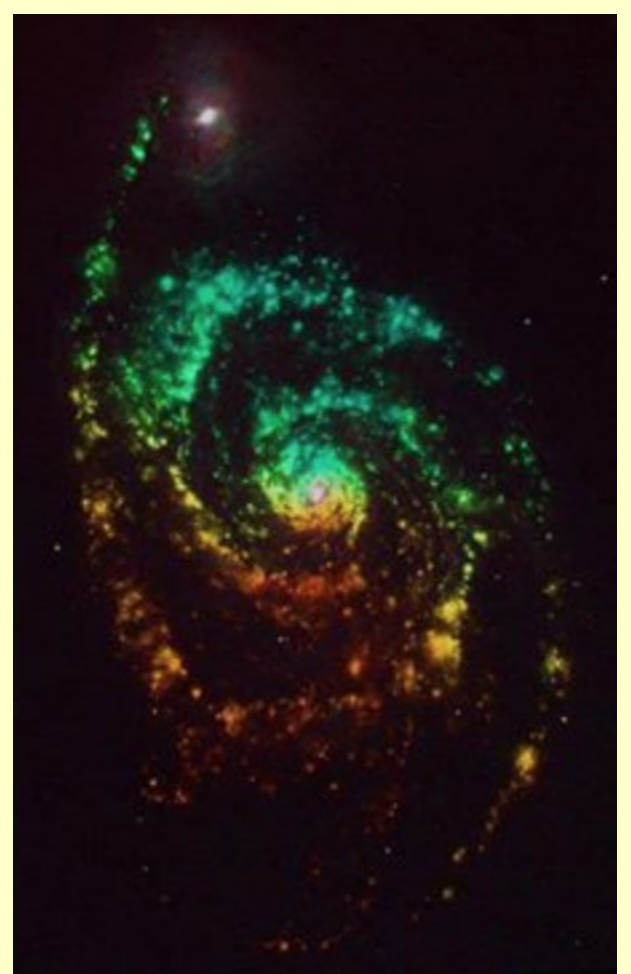
Но для слабых протяженных объектов проекты все еще не завершены:

SALT 3D-NTT

Немного экзотики: фурье-спектрограф

SITELLE = (Spectromètre Imageur à Transformée de Fourier pour l'Etude en Long et en Large de raies d'Emission)





Drissen + 14 Rousseau-Nepton + 17

Зачет по курсу

Презентация 5-10 слайдов, включающая:

- принцип действия прибора, основные параметры, выходные данные
- любой полученный на нём наблюдательный результат (не рассмотренный на лекциях)

- 1) PMAS (Roth M. et al. 2005)
- 2) PMAS/PPAK (Kelz A. et al. 2006)
- 3) SAMI (Croom S. et al. 2012)
- 4) MaNGA (Bundy K. et al. 2015)
- 5) SINFONI (Eisenhauer F. et al. 2015)
- 6) VIMOS/IFU (Bonneville C. et al. 2003)
- 7) MUSE (Bacon R. et al. 2010)